

# Etude des plans d'eau du programme de surveillance des bassins Rhône Méditerranée et Corse - rapport de données brutes et interprétation **Lac du Salagou – suivi annuel 2013**

Juillet 2014



# Etude des plans d'eau du programme de surveillance des bassins Rhône Méditerranée et Corse - rapport de données brutes et interprétation

## Lac du Salagou – suivi annuel 2013

**Juillet 2014**

| Version | Date            | Nom et signature du (des) rédacteur(s) | Nom et signature du vérificateur |
|---------|-----------------|--|----------------------------------|
| V1      | 15 avril 2014   | C. MAZOYER<br>A. ROBE<br>A. CORBARIEU  | V. BOUCHAREYCHAS                 |
| V2      | 30 juillet 2014 | C. MAZOYER                             | V. BOUCHAREYCHAS                 |
| V3      | 30 août 2014    | C. MAZOYER                             | V. BOUCHAREYCHAS                 |

# Sommaire

|   |    |
|---|----|
| <b>1. PREAMBULE</b> .....   | 4  |
| <b>1.1. Cadre du programme de suivi</b> .....   | 4  |
| <b>1.2. Présentation du plan d'eau et localisation</b> .....                                | 5  |
| <b>1.3. Conditions climatiques 2013</b> .....   | 6  |
| <b>2. CONTENU DU SUIVI 2013</b> .....   | 6  |
| <b>2.1. Programme</b> .....   | 7  |
| <b>2.2. Investigations physicochimiques</b> .....   | 7  |
| 2.2.1. Mesures in situ .....  | 8  |
| 2.2.2. Prélèvements d'eau.....  | 8  |
| 2.2.3. Transfert et analyse des échantillons .....  | 8  |
| <b>2.3. Investigations biologiques</b> .....  | 8  |
| 2.3.1. Phytoplancton .....  | 8  |
| <b>3. RESULTATS DES INVESTIGATIONS</b> .....  | 9  |
| <b>3.1. Investigations physicochimiques</b> .....   | 9  |
| <b>3.1.1. Analyses des eaux du plan d'eau</b> .....   | 9  |
| 3.1.1.1. Evolution de la hauteur d'eau .....  | 9  |
| 3.1.1.2. Profils verticaux et évolution saisonnières.....                                   | 9  |
| 3.1.1.3. Paramètres chimiques classiques .....  | 12 |
| <b>3.2. Phytoplancton</b> .....   | 13 |
| 3.2.1. Importance de la zone euphotique .....   | 13 |
| 3.2.2. Biomasse phytoplanctonique .....   | 13 |
| 3.2.3. Listes floristiques et densités.....   | 13 |
| 3.2.4. Evolution saisonnière des groupes algaux .....                                       | 15 |
| <b>4. INTERPRETATION GLOBALE DES RESULTATS</b> .....  | 16 |
| <b>5. ANNEXES</b> .....   | 17 |
| <b>5.1. Liste des micropolluants analysés dans l'eau</b> .....                              | 18 |
| <b>5.2. Compte-rendus des campagnes de prélèvements (physicochimie et phytoplancton)</b> 19 |    |

## 1. PREAMBULE

---

### 1.1. CADRE DU PROGRAMME DE SUIVI

Dans le cadre de la mise en œuvre de la Directive Cadre européenne sur l'Eau (DCE), un programme de surveillance doit être établi pour suivre l'état écologique (ou le potentiel écologique) et l'état chimique des eaux douces de surface.

Différents réseaux constituent le programme de surveillance. Parmi ceux-ci, deux réseaux sont actuellement mis en œuvre sur les plans d'eau :

- Le réseau de contrôle de surveillance (RCS) vise à donner une image globale de la qualité des eaux. Tous les plans d'eau naturels supérieurs à 50 ha ont été pris en compte sur les bassins Rhône-Méditerranée et Corse. Pour les plans d'eau d'origine anthropique, une sélection a été opérée parmi les plans d'eau supérieurs à 50 ha, afin de couvrir au mieux les différents types présents (grandes retenues, plans d'eau de digue, plans d'eau de creusement).
- Le contrôle opérationnel (CO) a pour but de suivre spécifiquement les masses d'eau (naturelles ou anthropiques) supérieures à 50 ha, à risque de non atteinte du bon état (ou du bon potentiel) des eaux en 2015.

Au total, 80 plans d'eau sont suivis sur les bassins Rhône-Méditerranée et Corse dans le cadre de ces deux réseaux.

Le contenu du programme de suivi concernant les plans d'eau est identique pour le RCS et le CO. Un plan d'eau concerné par le CO sera cependant suivi à une fréquence plus soutenue (tous les 3 ans) par rapport à un plan d'eau suivi dans le cadre du RCS (tous les 6 ans).

Le tableau suivant résume les différents éléments suivis par année et les fréquences d'intervention associées. Il s'agit du suivi qualitatif type mis en place pour les plans d'eau du programme de surveillance. Les différents paramètres physicochimiques analysés dans l'eau sont suivis lors de quatre campagnes calées aux différentes phases du cycle annuel de fonctionnement du plan d'eau, soit entre le mois de février et le mois d'octobre.

|                                   |   | Paramètres  | Type de prélèvements/<br>Mesures              | HIVER  | PRINTEMPS | ETE | AUTOMNE |
|-----------------------------------|---|---|---|--|-----------|-----|---------|
| Sur EAU                           | Mesures in situ   | O2 dis. (mg/l, %sat.), pH, COND (25°C), T°C, transparence secchi            | Profils verticaux                             | X  | X         | X   | X       |
|                                   | Physico-chimie classique  | DBO5, PO4, Ptot, NH4, NKJ, NO3, NO2, COT, COD, MEST, Turbidité, Si dissoute | Intégré                                       | X  | X         | X   | X       |
|                                   |   |   | Ponctuel de fond                              | X  | X         | X   | X       |
|                                   | Substances prioritaires, autres substances et pesticides  | Micropolluants sur eau*   | Intégré                                       | X  | X         | X   | X       |
|                                   |   |   | Ponctuel de fond                              | X  | X         | X   | X       |
| Pigments chlorophylliens          | Chlorophylle a + phéopigments   | Intégré   | X   | X  | X         | X   |         |
|                                   |   | Ponctuel de fond  |   |  |           |     |         |
| Minéralisation                    | Ca <sup>2+</sup> , Na <sup>+</sup> , Mg <sup>2+</sup> , K <sup>+</sup> , dureté, TA, TAC, SO <sub>4</sub> <sup>2-</sup> , Cl <sup>-</sup> , HCO <sub>3</sub> <sup>-</sup> | Intégré   | X   |  |           |     |         |
|                                   |   | Ponctuel de fond  |   |  |           |     |         |
| Sur SEDIMENTS                     | Eau interstitielle : Physico-chimie   |   | PO4, Ptot, NH4                                |  |           |     |         |
|                                   | Phase solide (<2mm)   | Physico-chimie  | Corg., Ptot, NKJ, Granulométrie, perte au feu | Prélèvement au point de plus grande profondeur |           |     | X       |
|                                   |   | Substances prioritaires, autres substances et pesticides                    | Micropolluants sur sédiments*                 |  |           |     |         |
| HYDROBIOLOGIE et HYDROMORPHOLOGIE |   | Phytoplancton   | Prélèvement Intégré (Cemagref/Utermöhl)       | X  | X         | X   | X       |
|                                   |   | Invertébrés benthiques  | Lac naturel : IBLsimplifié                    |  |           |     | X       |
|                                   |   |   | Retenues : IOBL (NF T90-391)                  |  |           |     | X       |
|                                   |   | Macrophytes   | Norme XP T 90-328                             |  |           | X   |         |
|                                   |   | Hydromorphologie  | en charge de l'ONEMA                          |  |           | X   |         |
| Suivi piscicole                   | Protocole CEN (en charge de l'ONEMA)  |   |   | X  |           |     |         |

\* : se référer à l'annexe 5 de la circulaire du 29 janvier 2013 relative à l'application de l'arrêté du 25 janvier 2010 établissant le programme de surveillance de l'état des eaux.

RCS : un passage par plan de gestion (soit une fois tous les six ans)

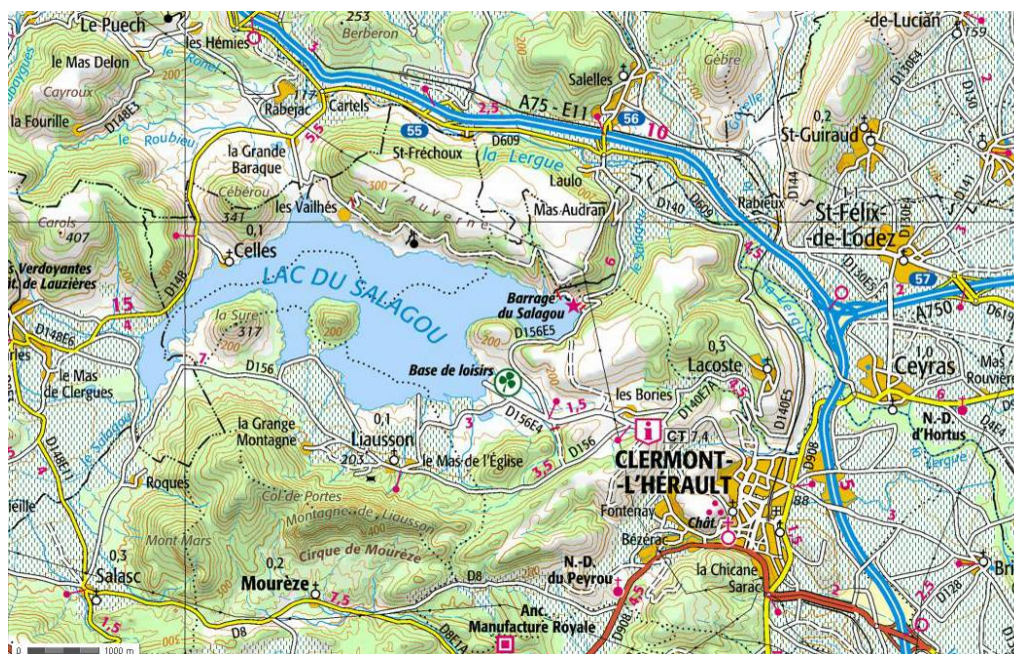
CO : un passage tous les trois ans

## 1.2. PRESENTATION DU PLAN D'EAU ET LOCALISATION

La retenue du Salagou qui appartient au Conseil Général de l'Hérault, est située sur les communes de Clermont l'Hérault, Liausson, Celles et Octon. Le plan d'eau, formé par un barrage sur le Salagou, couvre une superficie de 730 ha pour un volume de 103 millions de m<sup>3</sup> à la cote normale d'exploitation (soit 139 m NGF). La profondeur maximale est de 51 m. Le plan d'eau, d'une longueur de 6 km draine un petit bassin versant d'environ 75 km<sup>2</sup> qui repose sur des roches sédimentaires constituées en partie de ruffe (roche formée par la combinaison de sédiments argileux et d'oxydes de fer). Le temps de renouvellement des eaux est très long (près de 4 ans).

Cette retenue artificielle est classée en masse d'eau fortement modifiée (MEFM).

Le barrage a plusieurs vocations (hydroélectricité, irrigation, écrêtement des crues, soutien d'étiage du fleuve Hérault, zone d'écopage pour les canadais). Ce lac est aussi un lieu touristique (baignade, pêche, voile,...). L'utilisation du moteur est interdite.



Carte de localisation de la retenue du Salagou (Source : Géoportail, IGN)

### 1.3. CONDITIONS CLIMATIQUES 2013

Le lac du Salagou bénéficie d'un climat de type méditerranéen caractérisé par des hivers doux et des étés chauds et très secs suivis d'automne aux pluies abondantes. Le secteur est sous l'influence de la tramontane (vent sec de nord-ouest très fréquent en hiver et automne), du Marin et du Grec (respectivement vent du sud-est et d'est accompagnés souvent d'un temps couvert et de pluies importantes).

Plus globalement en région Languedoc-Roussillon, le printemps 2013 (avril et mai) a été caractérisé par d'importantes précipitations (supérieures à la normale), un ensoleillement modéré, des températures basses et un vent de nord-ouest fort et fréquent (tramontane). L'été 2013 s'est révélé chaud avec un bon ensoleillement, des précipitations normales en juillet et rares en août. Un fort vent de Nord-Ouest a soufflé en août. L'automne a été doux, peu humide et peu venteux.

## 2. CONTENU DU SUIVI 2013

La retenue du Salagou est suivie au titre des Réseaux de Contrôle de Surveillance (RCS). En 2013, le suivi a porté spécifiquement sur l'élément de qualité phytoplancton, la physicochimie classique étant également réalisée en parallèle sur l'échantillon intégré de la zone euphotique pour aider à l'exploitation des données. L'élément phytoplancton doit être suivi tous les 3 ans dans le cadre du RCS en application de l'arrêté du 29 juillet 2011 modifiant l'arrêté « Surveillance » du 25 janvier 2010.

Le précédent suivi dans le cadre du réseau de surveillance DCE date de 2010 ; il portait alors sur l'ensemble des éléments requis au suivi de ce type de plan d'eau.

## 2.1. PROGRAMME

Le tableau ci-dessous indique les dates des investigations réalisées en 2013 ainsi que les structures intervenantes.

| Salagou<br>(Y2235003)  | Phase terrain                  |            |            |            | Phase Laboratoire |
|------------------------|--------------------------------|------------|------------|------------|-------------------|
|                        | 1                              | 2          | 3          | 4          |                   |
| Campagnes              | 1                              | 2          | 3          | 4          |                   |
| Dates                  | 18/02/2013                     | 27/05/2013 | 18/07/2013 | 27/09/2013 |                   |
| Physicochimie eau      | aquascop                       | aquascop   | aquascop   | aquascop   | Labo CARSO        |
| Physicochimie sédiment | Compartiment non suivi en 2013 |            |            |            |                   |
| Phytoplancton          | aquascop                       | aquascop   | aquascop   | aquascop   | aquascop          |
| Invertébrés            | Compartiment non suivi en 2013 |            |            |            | -                 |

## 2.2. INVESTIGATIONS PHYSICOCHIMIQUES

Les paramètres physico-chimiques analysés dans l'eau sont suivis lors de quatre campagnes calées aux différentes phases du cycle annuel de fonctionnement du plan d'eau (entre février et octobre). Les dates d'intervention sont mentionnées au paragraphe 2.1. A chaque campagne, sont réalisés au point de plus grande profondeur :

- un profil vertical des paramètres physico-chimiques de terrain : température, conductivité, oxygène dissous (en mg/l et % saturation) et pH ;
- des échantillons d'eau pour analyses (physico-chimie, pigments chlorophylliens).

Aucune analyse physicochimique n'a été réalisée dans le sédiment lors du suivi 2013.



### 2.2.1. Mesures in situ

Lors des 4 campagnes, un relevé in situ des paramètres température, conductivité, oxygène (en concentration et en % saturation) et pH selon un profil vertical est réalisé au point de plus grande profondeur.

Ce point de mesure est généralement connu (fiche station mise à disposition du bureau d'étude par l'Agence de l'eau). Il est atteint à l'aide d'une embarcation équipée d'un échosondeur associé à un GPS. Arrivé sur site, le bateau est maintenu dans le même secteur pendant tous les relevés (ancrage).

Les mesures sont réalisées à l'aide d'une sonde multiparamètres de marque HYDROLAB type DS5 équipée d'un câble de 100 mètres. Les relevés, réalisés tous les mètres, sont enregistrés sur un assistant numérique personnel (PDA) associé à cette sonde.

La transparence est mesurée à l'aide d'un disque de Secchi de diamètre 20 cm (dessins ¼ noir, ¼ blanc); 3 mesures sont réalisées consécutivement ; la valeur retenue est la moyenne des 3 mesures.

### 2.2.2. Prélèvements d'eau

Lors des 4 campagnes, on réalise des prélèvements d'eau pour les analyses chimiques :

- Un échantillonnage intégré dans la zone euphotique. Celle-ci est égale à 2,5 fois la transparence mesurée avec le disque de Secchi.

Les prélèvements d'eau pour analyses chimiques sont effectués à l'aide d'une bouteille intégratrice revêtue de téflon de type Niskin (volume de 2,6 litres). Pour constituer l'échantillon de zone euphotique, plusieurs prélèvements ponctuels répartis de manière équidistante dans la zone euphotique, sont réalisés puis mélangés dans un seau en inox avant de remplir (à l'aide d'un entonnoir inox et d'un bécher inox) les flacons fournis par le laboratoire d'analyses (CARSO).

### 2.2.3. Transfert et analyse des échantillons

Les échantillons pour analyses chimiques sont stockés dans des glacières avec réfrigérants, fournies par les laboratoires d'analyse. Ces glacières sont portées le jour même<sup>1</sup> au dépôt du transporteur TNT le plus proche du site pour le laboratoire CARSO. Les échantillons parviennent au laboratoire d'analyses dans les 24 heures suivant le prélèvement.

## 2.3. INVESTIGATIONS BIOLOGIQUES

Les investigations hydrobiologiques concernant ce plan d'eau ne concerne en 2013 que l'étude des peuplements phytoplanctoniques : protocole standardisé d'échantillonnage, de conservation, d'observation et de dénombrement du phytoplancton en plan d'eau pour la mise en œuvre de la DCE, v3.3.1, Cemagref, septembre 2009.

### 2.3.1. Phytoplancton

L'analyse du phytoplancton est réalisée à partir d'un prélèvement d'eau de la zone euphotique (même station que pour les analyses chimiques).

Sur le terrain, le prélèvement d'eau intégré dans la zone euphotique se fait à l'aide d'un tuyau intégrateur. Un aliquote de l'échantillon sert à l'analyse du phytoplancton ; il est fixé au lugol pour la bonne conservation des algues. Un autre aliquote de l'échantillon sert à l'analyse de la chlorophylle a ; il est filtré sur site à l'aide

<sup>1</sup> Sauf exceptions pour quelques sites isolés.



d'une pompe à vide électrique ou manuelle (filtration sur un filtre d'acétate de cellulose de 0,7 µm de porosité).

Le dosage de la chlorophylle et des phéopigments est confié au laboratoire d'analyses CARSO (même envoi que pour les analyses chimiques d'eau).

La composition du phytoplancton est analysée dans le laboratoire AQUASCOP selon la norme NF EN 15204 correspondant à la méthode d'Utermohl adoptée au niveau européen et suivant les spécifications particulières du protocole standardisé mis en œuvre pour la DCE version 3.3.1, septembre 2009.

Les dénombrements sont réalisés par comptage à l'espèce dans la mesure du possible. Le comptage est effectué au microscope inversé après sédimentation dans une cuve d'Utermohl (1958). L'outil de comptage PHYTOBS est utilisé pour le dénombrement du phytoplancton, dont les résultats sont exprimés par taxon en nombre de cellules/ml et en biovolumes ( $\text{mm}^3/\text{l}$ ).

L'indice planctonique IPL est calculé à partir de l'abondance des différents groupes algaux exprimée en biovolumes.

### 3. RESULTATS DES INVESTIGATIONS

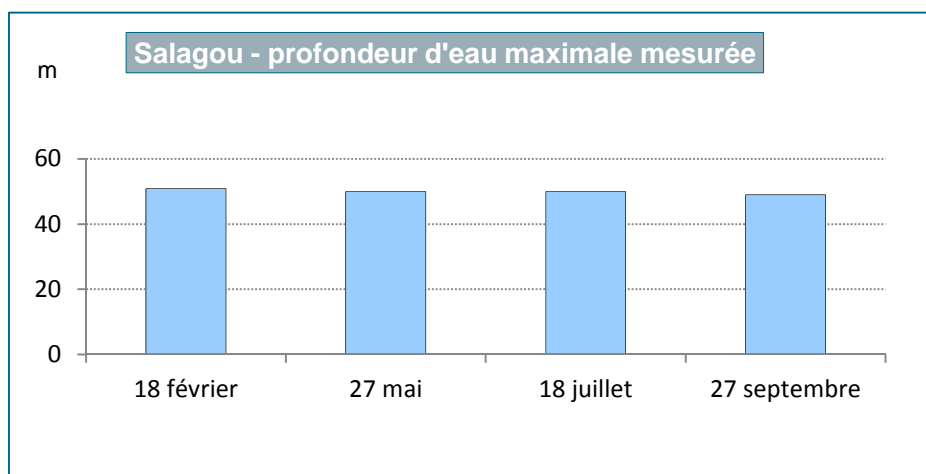
#### 3.1. INVESTIGATIONS PHYSICOCHIMIQUES

Les compte-rendus des campagnes de prélèvements figurent en annexe 3.

##### 3.1.1. Analyses des eaux du plan d'eau

###### 3.1.1.1. Evolution de la hauteur d'eau

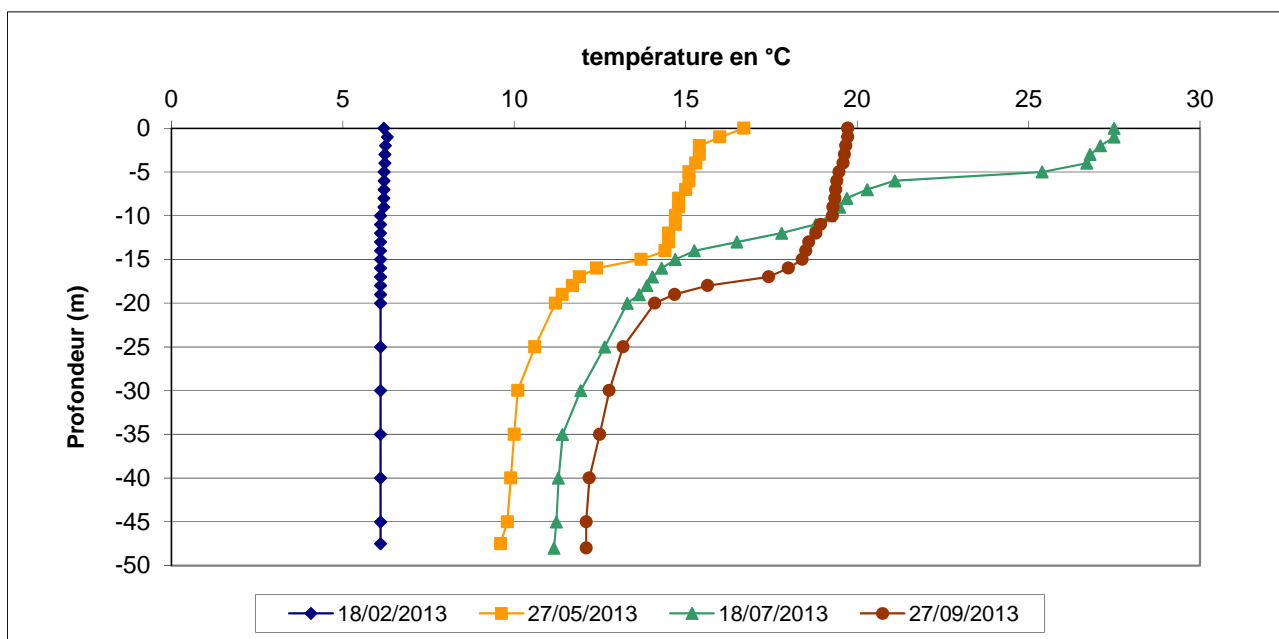
En 2013, la hauteur d'eau du plan d'eau dans la zone la plus profonde varie de 49 mètres (automne) à 51 mètres (hiver). Le marnage est très réduit.



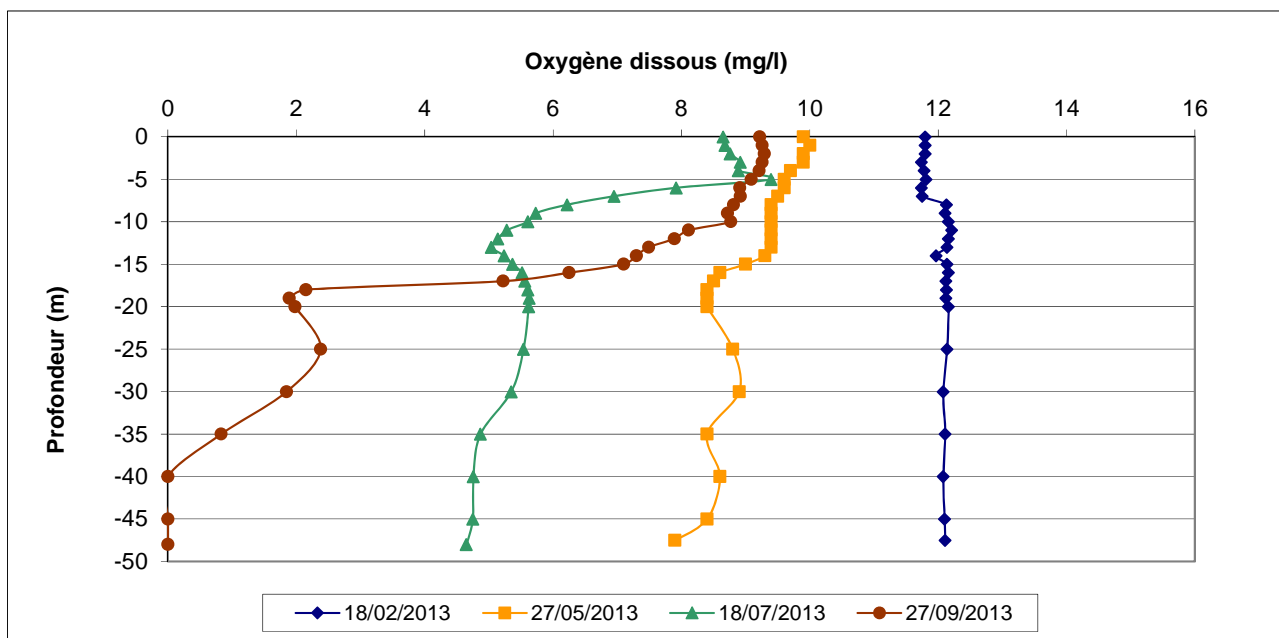
###### 3.1.1.2. Profils verticaux et évolution saisonnières

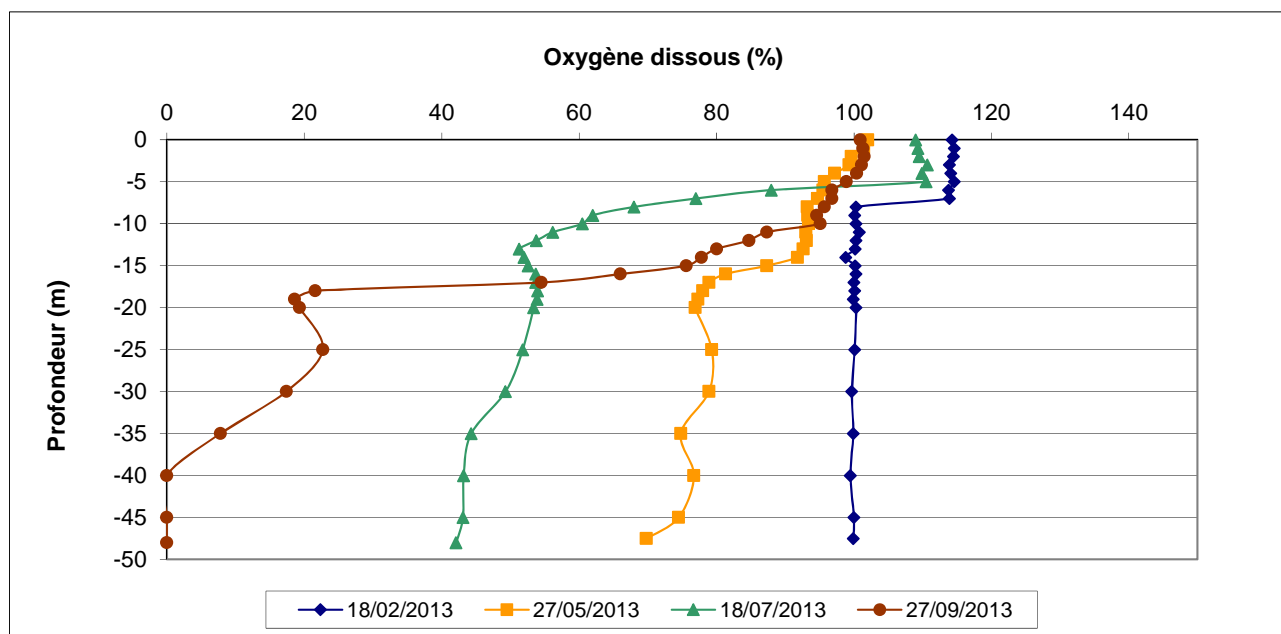
Le suivi comprend des relevés in situ des paramètres température, conductivité, oxygène (en concentration et en % saturation) et pH selon un profil vertical au point de plus grande profondeur, ceci lors de 4 campagnes.

Les graphiques regroupant ces résultats pour chaque paramètre lors des 4 campagnes sont présentés ci-dessous.

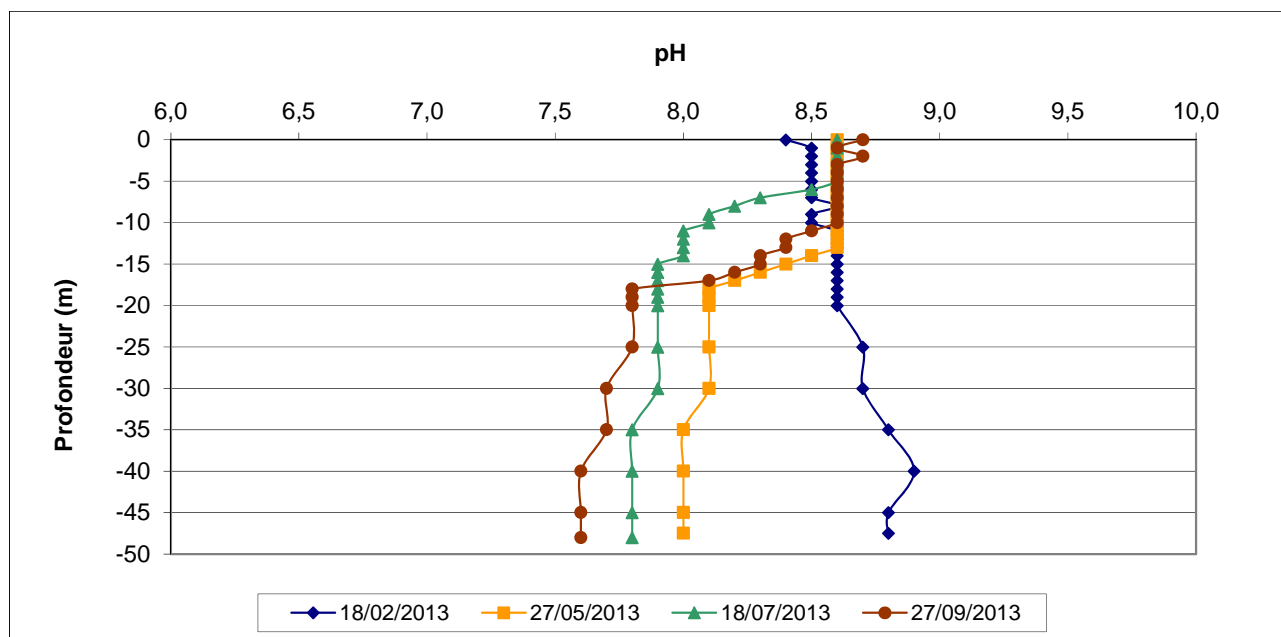


La température de l'eau est homogène dans l'ensemble de la colonne lors de la première campagne (fin d'hiver). Une thermocline est bien établie en mai et en septembre ; l'épilimnion mesure 15 à 18 m d'épaisseur. En revanche, en juillet, la couche chaude est réduite (5 m) ; en dessous, la température chute de 21°C (à - 6 m) à 14°C (à - 17 m) pour ensuite rester stable jusqu'au fond. Il y a peut-être eu une déstratification partielle (sous l'effet du vent) entre juillet et septembre.



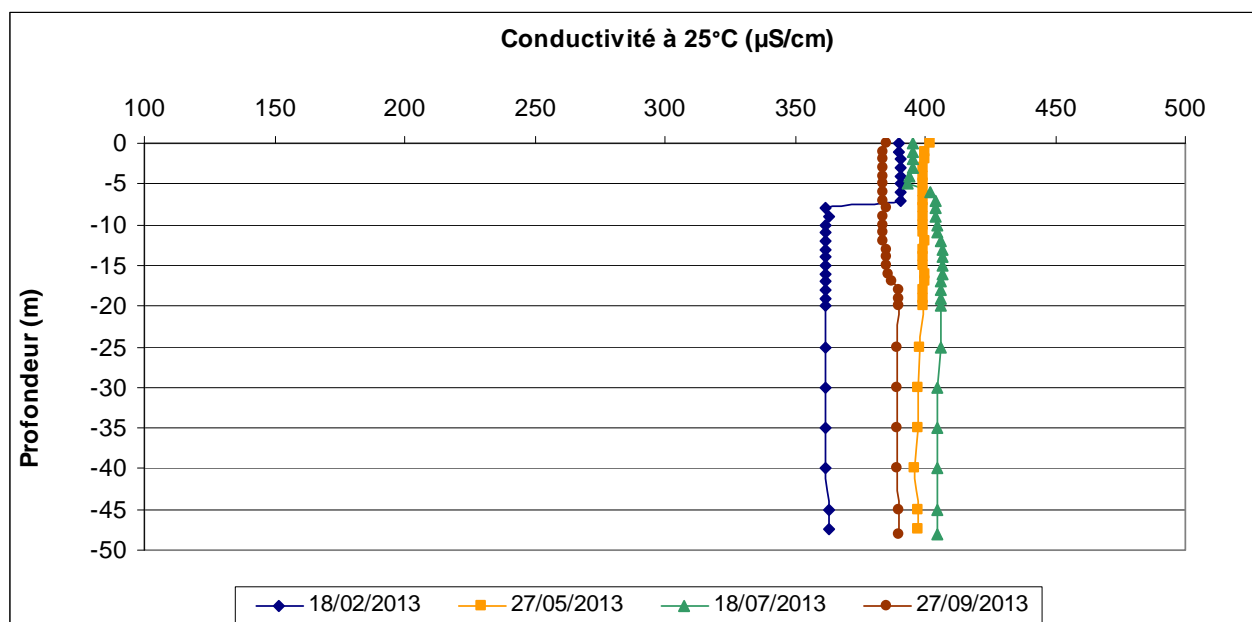


En fin d'hiver, la teneur en oxygène présente déjà une légère sursaturation en oxygène (114 %) de la surface à 7 m de profondeur. En dessous, l'oxygène est présent jusqu'au fond (100 %). Lors de la campagne printanière (mai), la concentration en oxygène baisse régulièrement de la surface (102%) à 14 m (92%) ; une oxycline se situe entre 14 et 17 m (passage de 92 à 79%) ; l'hypolimnion est oxygéné (environ 80 %). En juillet, une légère sursaturation en oxygène (110 %) est mesurée de la surface à 5 m ; en dessous de 5 m jusqu'à 13 m la concentration en oxygène baisse rapidement (de 110 % à 51 %) ; la teneur en oxygène dissous après 13 m de profondeur est stable et comprise entre 51 et 42 %. En septembre, la teneur en oxygène dans la zone euphotique est proche de la saturation (101%) et le fond est désoxygéné ; l'oxycline se situe entre 10 et 19 m (l'oxygène chutant de 95 à 19 % entre ces profondeurs). Au fond, il n'y a plus d'oxygène dissous.



L'eau est à tendance basique : les valeurs en surface varient de 8,4 à 8,7 suivant les campagnes ; au fond, le pH varie de 7,6 à 8,8. Le pH est stable et homogène lors de la première campagne. Au mois de mai et de septembre, le pH est stable de la surface à 10-13 m (8,6), puis il baisse rapidement sur 5 m (pour ensuite rester stable jusqu'au fond (7,8 à 8). Au mois de juillet, la couche de surface avec un pH stable (8,6) est de 5

m (comme pour l'oxygène et la température). Un gradient concerne la couche de 5 m à 11 m (pH de 8), l'hypolimnion présentant un pH stable jusqu'au fond (pH de 7,6).



La conductivité est élevée et cohérente avec la géologie alentour (dépôts calco-carbonatés). Les valeurs de conductivité sont homogènes dans la colonne d'eau.

### 3.1.1.3. Paramètres chimiques classiques

Le tableau suivant présente les résultats des analyses d'eau (hors micropolluants) lors des 4 campagnes réalisées en 2013.

| Physico-chimie - eau       |            | Limite quantification | 18/02/2013 |      | 27/05/2013 |      | 18/07/2013 |      | 27/09/2013 |      |
|----------------------------|------------|-----------------------|------------|------|------------|------|------------|------|------------|------|
| Retenue du Salagou         |            |                       | Intégré    | Fond | Intégré    | Fond | Intégré    | Fond | Intégré    | Fond |
| Code plan d'eau : Y2235003 |            |                       |            |      |            |      |            |      |            |      |
| Turbidité                  | NTU        | 0,1                   | 2,8        |      | 2,2        |      | 2,9        |      | 0,8        |      |
| MeS                        | mg/L       | 2                     | <LQ        |      | 2,2        |      | 3,4        |      | <LQ        |      |
| COD                        | mg(C)/L    | 0,2                   | 3,2        |      | 3,4        |      | 2,8        |      | 3,3        |      |
| DCO                        | mg(O2)/L   | 5                     | 8,7        |      | 8,2        |      | 19         |      | 8,1        |      |
| DBO                        | mg(O2)/L   | 0,5                   | 1,1        |      | 0,8        |      | 1,6        |      | 0,6        |      |
| Azote Kjeldahl             | mg(N)/L    | 0,5                   | <LQ        |      | <LQ        |      | <LQ        |      | <LQ        |      |
| Ammonium                   | mg(NH4)/L  | 0,05                  | 0,05       |      | <LQ        |      | 0,1        |      | <LQ        |      |
| Nitrates                   | mg(NO3)/L  | 1                     | <1         |      | <1         |      | <1         |      | <1         |      |
| Nitrites                   | mg(NO2)/L  | 0,02                  | <LQ        |      | <LQ        |      | <LQ        |      | <LQ        |      |
| Phosphates                 | mg(PO4)/L  | 0,01                  | 0,05       |      | 0,03       |      | 0,02       |      | <LQ        |      |
| Phosphore total            | mg(P)/L    | 0,01                  | 0,02       |      | <LQ        |      | 0,01       |      | <LQ        |      |
| Silice                     | mg(SiO2)/L | 1                     | 12,1       |      | 8,2        |      | 9,2        |      | 9,4        |      |
| Chlorophylle a             | µg/L       | 1                     | 1          |      | 1          |      | 1          |      | <LQ        |      |
| Phéopigments               | µg/L       | 1                     | 1          |      | 1          |      | <LQ        |      | <LQ        |      |

Analyses sur eau filtrée : ammonium, nitrates, nitrites, phosphates, silice et COD

Les concentrations dans la zone euphotique d'azote, de phosphore sont très faibles. Il en est de même pour la matière organique. En revanche, les teneurs en silice dissoute sont élevées, notamment en fin d'hiver.

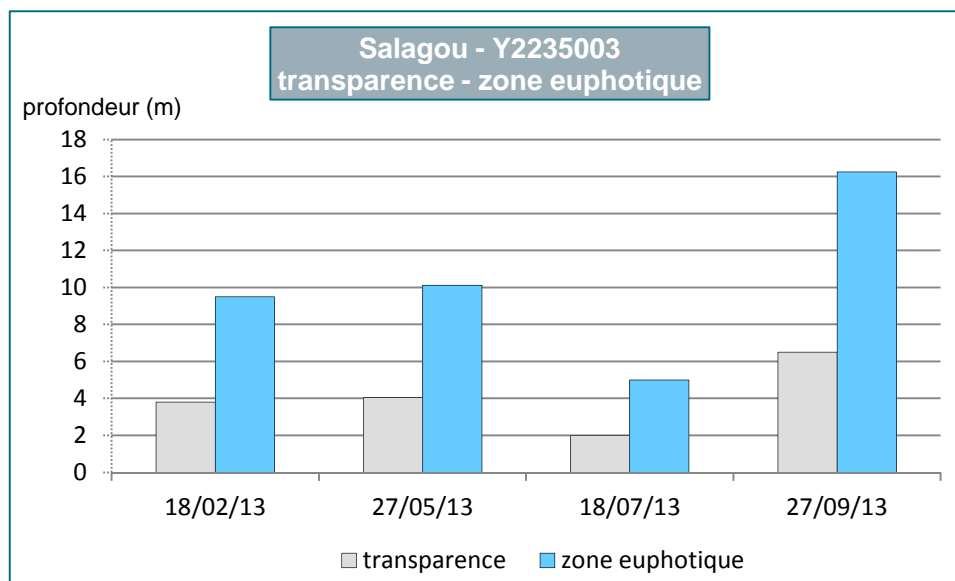
La biomasse algale est très faible (concentrations en chlorophylle a et phéopigments sont inférieures ou égales aux limites de quantification).

## 3.2. PHYTOPLANCTON

### 3.2.1. Importance de la zone euphotique

Les échantillonnages de phytoplancton ont été réalisés dans la zone euphotique<sup>2</sup> par un prélèvement intégré.

Le graphique suivant présente l'évolution saisonnière de la transparence mesurée au disque de Secchi et de la zone euphotique.



La transparence est assez variable selon les campagnes (minimum de 2 m en juillet ; maximum de 6,5 m en septembre).

### 3.2.2. Biomasse phytoplanctonique

Le tableau ci-dessous rappelle les teneurs en pigments chlorophylliens par campagne.

| Retenue du Salagou         |      | Limite quantification | Concentrations dans l'échantillon intégré |            |            |            |
|----------------------------|------|-----------------------|---|------------|------------|------------|
| Code plan d'eau : Y2235003 |      |                       | 18/02/2013                                | 27/05/2013 | 18/07/2013 | 27/09/2013 |
| Chlorophylle a             | µg/L | 1                     | 1   | 1          | 1          | <LQ        |
| Phéopigments               | µg/L | 1                     | 1   | 1          | <LQ        | <LQ        |

La biomasse algale (évaluée par le dosage des pigments chlorophylliens) est presque nulle même en été.

### 3.2.3. Listes floristiques et densités

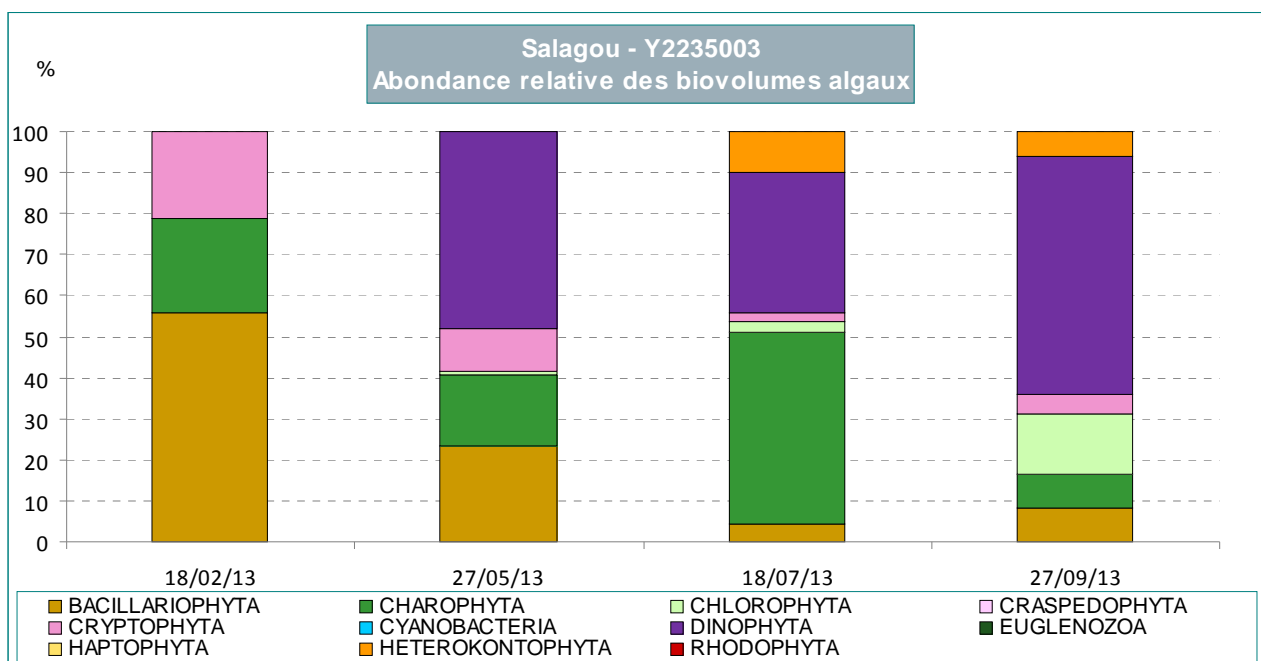
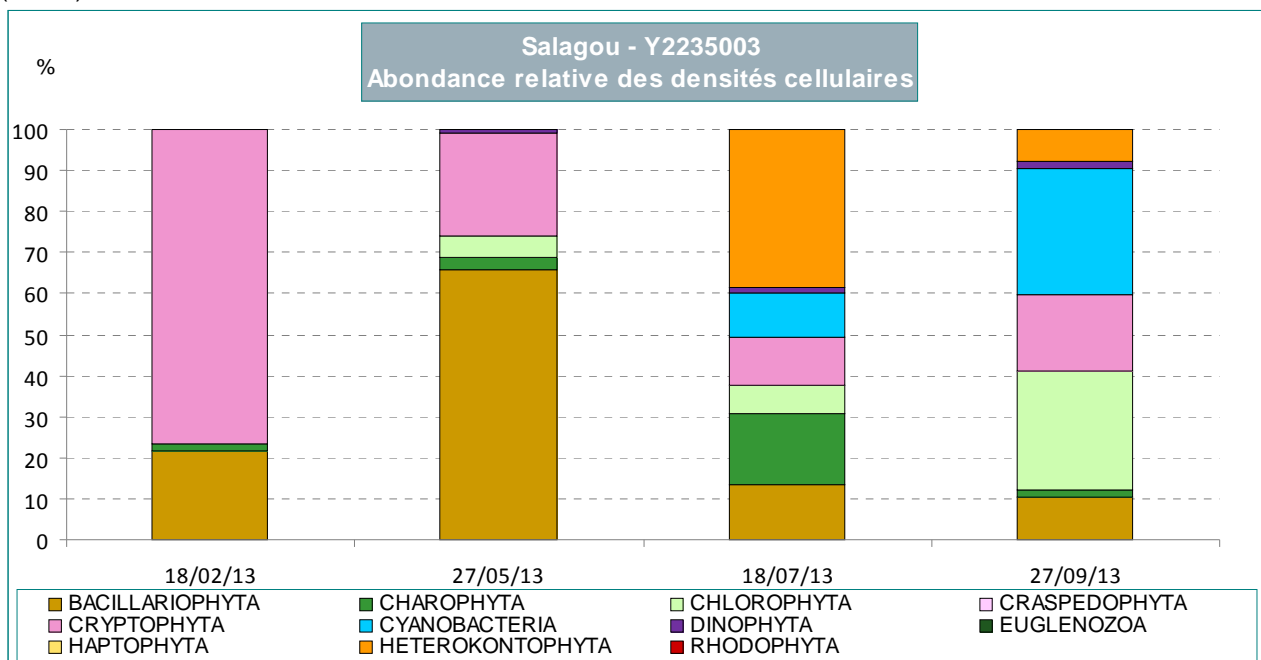
Le tableau ci-dessous présente la composition phytoplanctonique (taxons et densité en nombre de cellules par ml) pour les 4 campagnes.

<sup>2</sup> La zone euphotique est égale à 2,5 fois la transparence.

| Inventaire du phytoplancton dans le plan d'eau Salagou (Y2235003) |             |            |            |            |            |            |
|---|-------------|------------|------------|------------|------------|------------|
| prélèvements AQUASCOP; détermination AQUASCOP                     |             |            |            |            |            |            |
| résultats exprimés en densité cellulaire (cell./ml)               |             |            |            |            |            |            |
|   | Code SANDRE | Code Taxon | 18/02/2013 | 27/05/2013 | 18/07/2013 | 27/09/2013 |
| <b>BACILLARIOPHYTA</b>  |             |            |            |            |            |            |
| <b>BACILLARIOPHYCEAE</b>  |             |            |            |            |            |            |
| <i>Achnanthes</i>   | 9354        | ACHSPX     |            |            | 348        |            |
| <i>Navicula</i>   | 9430        | NAVSPX     | 2          |            | 19         |            |
| <i>Nitzschia</i>  | 9804        | NIZSPX     | 3          |            |            |            |
| <i>Nitzschia acicularis</i>                                       | 8809        | NIZACI     |            |            | 19         |            |
| <b>COSCIODISCOPHYCEAE</b>   |             |            |            |            |            |            |
| <i>Aulacoseira granulata</i>                                      | 8559        | AULGRA     |            |            |            | 63         |
| <i>Cyclotephanos</i>  | 9505        | CYSSPX     |            | 9          |            |            |
| <i>Rhizosolenia</i>   | 9500        | RHZSPX     |            |            | 19         |            |
| Diatomées centriques indéterminées                                | 20160       | INDCEN     | 23         |            |            | 13         |
| <b>FRAGILARIOPHYCEAE</b>  |             |            |            |            |            |            |
| <i>Asterionella formosa</i>                                       | 4860        | ASTFOR     | 1          | 393        | 39         |            |
| <i>Diatoma vulgaris</i>   | 6631        | DIAVUL     | 3          |            |            |            |
| <i>Fragilaria crotonensis</i>                                     | 6666        | FRACRO     |            |            |            | 51         |
| <i>Ulnaria ulna</i> var. <i>acus</i>                              | 19120       | ULNUAC     |            |            | 39         |            |
| Diatomées pennées indéterminées                                   | 20161       | INDPEN     | 3          | 3          |            |            |
| <b>CHAROPHYTA</b>   |             |            |            |            |            |            |
| <b>KLEBSORMDIOPHYCEAE</b>   |             |            |            |            |            |            |
| <i>Koliella</i>   | 5285        | KOLSPX     |            |            | 387        |            |
| <b>ZYGNEMATOPHYCEAE</b>   |             |            |            |            |            |            |
| <i>Closterium</i>   | 4751        | CLOSPX     | 3          | 14         | 213        | 13         |
| <i>Closterium gracile</i> cf.                                     | 5542        | CLOGRA     |            | 6          |            |            |
| <i>Staurastrum</i>  | 1128        | STASPX     |            |            | 19         | 6          |
| <b>CHLOROPHYTA</b>  |             |            |            |            |            |            |
| <b>CHLOROPHYCEAE</b>  |             |            |            |            |            |            |
| <i>Ankyra</i>   | 5594        | ANYS PX    |            |            |            | 51         |
| <i>Coenochloris fottii</i>  | 5618        | COOFOT     |            | 23         | 155        | 51         |
| <i>Elakatothrix</i>   | 5662        | ELAS PX    |            | 9          |            |            |
| <i>Oocystis</i>   | 5752        | OOCSPX     |            |            |            | 13         |
| <i>Paradoxia multisetata</i>                                      | 5764        | PAAMUL     |            |            |            | 13         |
| <i>Pediastrum duplex</i>  | 5772        | PEDDUP     |            |            |            | 203        |
| <i>Phacotus lenticularis</i>                                      | 6048        | PHTLEN     |            |            | 77         |            |
| <i>Schroederia spiralis</i> cf.                                   | 5868        | SCRSPI     |            |            |            | 13         |
| <i>Tetraedron minimum</i>   | 5888        | TEAMIN     |            |            | 19         |            |
| Chlorococcales indéterminées                                      | 24395       | INDCHO     |            |            |            | 13         |
| <b>CRYPTOPHYTA</b>  |             |            |            |            |            |            |
| <b>CRYPTOPHYCEAE</b>  |             |            |            |            |            |            |
| <i>Cryptomonas</i>  | 6269        | CRYS PX    | 3          | 23         | 19         | 25         |
| <i>Plagioselmis nannoplantica</i>                                 | 9634        | PLGNAN     | 117        | 131        | 406        | 203        |
| <b>CYANOBACTERIA</b>  |             |            |            |            |            |            |
| <b>CYANOPHYCEAE</b>   |             |            |            |            |            |            |
| Chroococcales indéterminées                                       | 20156       | INDCRO     |            |            | 387        | 380        |
| <b>DINOPHYTA</b>  |             |            |            |            |            |            |
| <b>DINOPHYCEAE</b>  |             |            |            |            |            |            |
| <i>Ceratium hirundinella</i>                                      | 6553        | CERHIR     |            | 6          | 19         | 19         |
| <i>Peridinium</i>   | 6577        | PERSPX     |            |            | 19         |            |
| <b>HETEROKONTOPHYTA</b>   |             |            |            |            |            |            |
| <b>CHRYSOPHYCEAE</b>  |             |            |            |            |            |            |
| <i>Chrysococcus</i>   | 9570        | CHSSPX     |            |            | 155        |            |
| <i>Dinobryon bavaricum</i>  | 6127        | DINBAV     |            |            | 135        | 19         |
| <i>Dinobryon divergens</i>  | 6130        | DINDIV     |            |            | 1 103      | 51         |
| <b>SYNJUROPHYCEAE</b>   |             |            |            |            |            |            |
| <i>Mallomonas</i>   | 6209        | MALSPX     |            |            |            | 25         |
| <b>INDETERMINES</b>   |             |            |            |            |            |            |
| Taxons indéterminés   | (vide)      | INDTAX     | 5          | 3          | 77         | 19         |
| Densité cellulaire (cell./ml)                                     |             |            | 161        | 619        | 3 677      | 1 241      |
| Nombre de taxons  |             |            | 10         | 11         | 21         | 20         |

### 3.2.4. Evolution saisonnière des groupes algaux

Les graphiques suivants présentent la répartition des différents groupes algaux (par embranchement ; basé sur la classification du logiciel phytobs) à partir des densités cellulaires (cell./ml) et des biovolumes algaux (mm<sup>3</sup>/l).



Le développement du phytoplancton est peu important lors des 4 campagnes.

Les densités cellulaires sont inférieures à 700 cell./ml en février et mai avec peu de taxons observés (10 et 11 taxons). En juillet, la richesse taxonomique est moyenne (21 taxons) et le peuplement algal équilibré ; de nombreux embranchements sont représentés (Baccillariophyta 13% de densité cellulaire ; Charophyta 17% ; Cryptophyta 12% ; Cyanobacteria 11% ; Heterokontophyta 38%). *Dinobryon divergens* (Heterokontophyta), algue généralement présente dans des milieux d'assez bonne qualité, représente 30% de la densité

cellulaire (1 100 cell./ml). Malgré une température de l'eau en surface élevée (proche de 28°C), favorisant la croissance algale, la densité cellulaire reste modérée (3 700 cell./ml).

Lors des 3 campagnes (mai à septembre), *Ceratium hirundinella* présente des densités cellulaires faibles mais avec ses grandes dimensions, elle contribue fortement aux biovolumes développés (56% biovolumes algaux le 27/09/13). Cette algue est habituellement présente dans les milieux eutrophes (Reynolds et *al.* 2002). Elle se plaît visiblement dans des plans d'eau moins riches comme ici.

L'indice planctonique IPL est de 30 ce qui est caractéristique d'un plan d'eau oligotrophe (selon la diagnose rapide). Cette valeur correspond à une bonne classe d'état pour le paramètre IPL selon l'arrêté « Evaluation » du 25 janvier 2010.

## 4. INTERPRETATION GLOBALE DES RESULTATS

---

Les résultats du suivi 2013 sont analysés par 2 approches :

- selon les critères et méthodes d'évaluation définies par l'arrêté du 25 janvier 2010 pour évaluer l'état écologique ou le potentiel écologique des masses d'eau ;
- selon les outils développés dans la diagnose rapide (CEMAGREF, 2003), axée sur le niveau trophique des plans d'eau.

Les résultats de ces 2 approches sont présentés dans le document « note de synthèse des résultats ».

La seconde approche (diagnose rapide) est adaptée aux caractéristiques du plan d'eau du Salagou dont la profondeur est importante (50 mètres), qui présente une stratification thermique durable en été et dont le temps de séjour est très long (47 mois).

Les périodes d'intervention 2013 correspondent bien aux préconisations du protocole de la diagnose rapide (4 campagnes correspondant aux cycles thermique et biologique du plan d'eau).



## 5. ANNEXES

---

- Liste des micropolluants analysés dans l'eau
- Compte-rendus des campagnes de prélèvements physicochimiques et planctoniques en 2013

## 5.1. LISTE DES MICROPOLLUANTS ANALYSES DANS L'EAU

**LISTE DES MICROPOLLUANTS RECHERCHES SUR LE SUPPORT EAU**

| Codes sandre | Libellés des paramètres        | Codes sandre | Libellés des paramètres     | Codes sandre | Libellés des paramètres         |
|--------------|--------------------------------|--------------|-----------------------------|--------------|---------------------------------|
| 1264         | 2 4 5 T                        | 1168         | Dichlorométhane             | 6342         | Musc xylène                     |
| 1141         | 2 4 D                          | 1617         | Dichloronitrobenzène-2,3    | 1881         | Myclobutanil                    |
| 2872         | 2 4 D isopropyl ester          | 1616         | Dichloronitrobenzène-2,4    | 1516         | Naled                           |
| 2873         | 2 4 D méthyl ester             | 1615         | Dichloronitrobenzène-2,5    | 1517         | Naphtalène                      |
| 1142         | 2 4 DB                         | 1614         | Dichloronitrobenzène-3,4    | 1519         | Napropamide                     |
| 1212         | 2 4 MCPA                       | 1613         | Dichloronitrobenzène-3,5    | 1937         | Naptalame                       |
| 1213         | 2 4 MCPB                       | 2981         | Dichlorophène               | 1520         | Néburon                         |
| 2011         | 2 6 Dichlorobenzamide          | 1645         | Dichlorophénol-2,3          | 1386         | Nickel                          |
| 5474         | 4-n-nonylphénol                | 1486         | Dichlorophénol-2,4          | 1882         | Nicosulfuron                    |
| 1958         | 4-nonylphénols ramifiés        | 1649         | Dichlorophénol-2,5          | 1637         | Nitrophénol-2                   |
| 2610         | 4-tert-butylphénol             | 1648         | Dichlorophénol-2,6          | 1669         | Norflurazon                     |
| 1959         | 4-tert-octylphénol             | 1647         | Dichlorophénol-3,4          | 2737         | Norflurazon desméthyl           |
| 1453         | Acénaphthène                   | 1646         | Dichlorophénol-3,5          | 1883         | Nuarimol                        |
| 1622         | Acénaphthylène                 | 1655         | Dichloropropane-1,2         | 2609         | Octabromodiphénylether          |
| 5579         | Acetamidrid                    | 1654         | Dichloropropane-1,3         | 2027         | Olurace                         |
| 1903         | Acétochlore                    | 2081         | Dichloropropane-2,2         | 1230         | Ométhoate                       |
| 1465         | Acide monochloroacétique       | 2082         | Dichloropropène-1,1         | 1668         | Oryzalin                        |
| 1521         | Acide nitrilotriacétique (NTA) | 1834         | Dichloropropylène-1,3 Cis   | 2068         | Oxadiargyl                      |
| 1970         | Acifluorfen                    | 1835         | Dichloropropylène-1,3 Trans | 1667         | Oxadiazon                       |
| 1688         | Aclonifen                      | 1653         | Dichloropropylène-2,3       | 1666         | Oxadixyl                        |
| 1310         | Acrinathrine                   | 1169         | Dichloroprop                | 1850         | Oxamyl                          |
| 1101         | Alachlore                      | 2544         | Dichloroprop-P              | 1231         | Oxydéméton méthyl               |
| 1102         | Aldicarbe                      | 1170         | Dichlorvos                  | 1952         | Oxyfluorène                     |
| 1807         | Aldicarbe sulfone              | 1171         | Diclofop méthyl             | 1920         | p-(n-octyl)phénol               |
| 1806         | Aldicarbe sulfoxyde            | 1172         | Dicofof                     | 2545         | Pacloutrazole                   |
| 1103         | Aldrine                        | 5525         | Dicrotophos                 | 1522         | Paraquat                        |
| 1697         | Alléthrine                     | 2847         | Didéméthylisoproturon       | 1232         | Parathion éthyl                 |
| 1812         | Alphaméthrine                  | 1173         | Dieldrine                   | 1233         | Parathion méthyl                |
| 1104         | Amétryne                       | 1402         | Diéthofencarbe              | 1242         | PCB 101                         |
| 2012         | Amidosulfuron                  | 2826         | Diéthylamine                | 1627         | PCB 105                         |
| 5523         | Aminocarbe                     | 2982         | Difenacoum                  | 1243         | PCB 118                         |
| 2537         | Aminochlorophénol-2,4          | 1905         | Difénoconazole              | 1089         | PCB 126                         |
| 1105         | Aminotriazole                  | 5524         | Difénoxuron                 | 1244         | PCB 138                         |
| 1308         | Amitraze                       | 1488         | Diflubenzuron               | 1245         | PCB 153                         |
| 1907         | AMPA                           | 1814         | Diflufenicanil              | 2032         | PCB 156                         |
| 1458         | Anthracène                     | 1870         | Diméfuron                   | 1090         | PCB 169                         |
| 2013         | Anthraquinone                  | 2546         | Dimétachlore                | 1626         | PCB 170                         |
| 1376         | Antimoine                      | 1678         | Diméthénamide               | 1246         | PCB 180                         |
| 1368         | Argent                         | 1175         | Diméthoate                  | 1625         | PCB 194                         |
| 1369         | Arsenic                        | 1403         | Diméthomorphe               | 1624         | PCB 209                         |
| 1965         | Asulame                        | 2773         | Diméthylamine               | 1239         | PCB 28                          |
| 1107         | Atrazine                       | 1641         | Diméthylphénol-2,4          | 1240         | PCB 35                          |
| 1832         | Atrazine 2 hydroxy             | 1698         | Dimétian                    | 1628         | PCB 44                          |
| 1109         | Atrazine déisopropyl           | 1871         | Diniconazole                | 1241         | PCB 52                          |
| 1108         | Atrazine déséthyl              | 1578         | Dinitrotoluène-2,4          | 1091         | PCB 77                          |
| 1830         | Atrazine déséthyl déisopropyl  | 1577         | Dinitrotoluène-2,6          | 1762         | Penconazole                     |
| 2014         | Azaconazole                    | 5619         | Dinocap                     | 1887         | Pencycuron                      |
| 2015         | Azaméthiphos                   | 1491         | Dinosébe                    | 1234         | Pendiméthaline                  |
| 2937         | Azimsulfuron                   | 1176         | Dinoterbe                   | 6394         | Penoxsulam                      |
| 1110         | Azinphos éthyl                 | 2888         | Dioclyletain                | 1888         | Pentachlorobenzène              |
| 1111         | Azinphos méthyl                | 5478         | Diphenylamine               | 1235         | Pentachlorophénol               |
| 1951         | Azoxystrobine                  | 2887         | Diphenyletain               | 1523         | Perméthrine                     |
| 1396         | Baryum                         | 1699         | Diquat                      | 1524         | Phénanthrène                    |
| 2915         | BDE100                         | 1492         | Disulfoton                  | 1236         | Phenméthaphame                  |
| 2913         | BDE138                         | 1966         | Dithianon                   | 1525         | Phorate                         |
| 2912         | BDE153                         | 1177         | Diuron                      | 1237         | Phosalone                       |
| 2911         | BDE154                         | 1490         | DNOC                        | 1971         | Phosmet                         |
| 1815         | BDE209                         | 2933         | Dodine                      | 1238         | Phosphamidon                    |
| 2920         | BDE28                          | 1493         | EDTA                        | 1665         | Phoxime                         |
| 2919         | BDE47                          | 1178         | Endosulfan alpha            | 2669         | Picoxystrobine                  |
| 2916         | BDE99                          | 1179         | Endosulfan beta             | 1709         | Piperonil butoxide              |
| 1687         | Bénalaxyl                      | 1742         | Endosulfan sulfate          | 1528         | Pirimicarbe                     |
| 1329         | Bendiocarbe                    | 1181         | Endrine                     | 5531         | Pirimicarbe Desméthyl           |
| 1112         | Benfluraline                   | 1494         | Epichlorohydrine            | 5532         | Pirimicarbe Formamido Desméthyl |
| 2924         | Benfuracarbe                   | 1744         | Epoxiconazole               | 1382         | Plomb                           |
| 2074         | Benoxacor                      | 1182         | EPTC                        | 1949         | Pretilachlore                   |
| 1113         | Bentazone                      | 1809         | Esfenvalérate               | 1253         | Prochloraz                      |
| 1764         | Benthiocarbe                   | 1380         | Etain                       | 1664         | Procyimidone                    |
| 1114         | Benzène                        | 2093         | Ethephon                    | 1889         | Profénofos                      |
| 1607         | Benzidine                      | 1763         | Ethidimuron                 | 1710         | Promécarbe                      |
| 1082         | Benzo (a) Anthracène           | 5528         | Ethiofencarbe sulfone       | 1711         | Prométon                        |
| 1115         | Benzo (a) Pyrène               | 6534         | Ethiofencarbe sulfoxyde     | 1254         | Prométryne                      |
| 1116         | Benzo (b) Fluoranthène         | 1183         | Ethion                      | 1712         | Propachlore                     |
| 1118         | Benzo (ghi) Pérylène           | 1874         | Ethiophencarbe              | 6398         | Propamocarb                     |
| 1117         | Benzo (k) Fluoranthène         | 1184         | Ethofumésate                | 1532         | Propanil                        |
| 1377         | Beryllium                      | 1495         | Ethoprophos                 | 1972         | Propaquizafop                   |
| 3209         | Beta cyfluthrine               | 1497         | Ethylbenzène                | 1255         | Propargite                      |
| 1119         | Bifénox                        | 5648         | Ethylène ThioUrée           | 1256         | Propazine                       |
| 1120         | Bifenthrine                    | 6601         | EthylèneUrée                | 5968         | Propazine 2-hydroxy             |
| 1502         | Bioresméthrine                 | 2020         | Famoxadone                  | 1533         | Propétamphos                    |
| 1584         | Biphényle                      | 2057         | Fénamidone                  | 1534         | Prophame                        |
| 1529         | Bitertanol                     | 1185         | Fénarimol                   | 1257         | Propiconazole                   |
| 1362         | Bore                           | 2742         | Fénazaquin                  | 1535         | Propoxur                        |
| 5526         | Boscalid                       | 1906         | Fenbuconazole               | 6214         | Propylène thiouree              |
| 1686         | Bromacil                       | 1186         | Fenclorphos                 | 1414         | Propyzamide                     |
| 1859         | Bromadiolone                   | 2743         | Fenhexamid                  | 1092         | Prosulfocarbe                   |
| 1121         | Bromochlorométhane             | 1187         | Fénitrothion                | 2534         | Prosulfuron                     |
| 1122         | Bromoforme                     | 5970         | Fénothiocarbe               | 5603         | Prothioconazole                 |
| 1123         | Bromophos éthyl                | 1973         | Fénoxaprop éthyl            | 5416         | Pymétrozine                     |
| 1124         | Bromophos méthyl               | 1967         | Fénoxycarbe                 | 2576         | Pyraclostrobin                  |
| 1685         | Bromopropylate                 | 1188         | Fenpropathrine              | 1258         | Pyrazophos                      |
| 1125         | Bromoxynil                     | 1700         | Fenpropidine                | 6530         | Pyrazoxyfen                     |
| 1941         | Bromoxynil octanoate           | 1189         | Fenpropimorphe              | 1537         | Pyrène                          |
| 1860         | Bromuconazole                  | 1190         | Fenthion                    | 1890         | Pyridabène                      |
| 1861         | Bupirimate                     | 1500         | Fénuron                     | 1259         | Pyridate                        |
| 1862         | Buprofézine                    | 2021         | Ferbam                      | 1663         | Pyrifénox                       |
| 1126         | Butraline                      | 2009         | Fipronil                    | 1432         | Pyriméthanyl                    |
| 1531         | Buturon                        | 1840         | Fiamprop-isopropyl          | 1260         | Pyrimiphos éthyl                |
| 1388         | Cadmium                        | 6539         | Fiamprop-méthyl             | 1261         | Pyrimiphos méthyl               |
| 1863         | Cadusafos                      | 1939         | Flazasulfuron               | 1891         | Quinalphos                      |
| 1127         | Captafol                       | 6393         | Flonicamid                  | 2087         | Quinmerac                       |
| 1128         | Captane                        | 2810         | Florasulam                  | 2028         | Quinoxifen                      |
| 1463         | Carbaryl                       | 1825         | Fluazifop-butyl             | 1538         | Quintozène                      |
| 1129         | Carbendazime                   | 2022         | Fludioxonil                 | 2069         | Quizalofop                      |
| 1333         | Carbétamide                    | 1676         | Flufénoxuron                | 2070         | Quizalofop éthyl                |
| 1130         | Carbofuran                     | 2023         | Flumioxazine                | 1892         | Rimsulfuron                     |
| 1805         | Carbofuran 3 hydroxy           | 1501         | Fluométron                  | 2029         | Roténone                        |
| 1131         | Carbophénthion                 | 1191         | Fluoranthène                | 2974         | S Métolachlore                  |
| 1864         | Carbosulfan                    | 1623         | Fluorène                    | 1923         | Sébuthylazine                   |
| 2976         | Carfentrazone-ethyl            | 2565         | Flupyrasulfuron methyle     | 1262         | Secbumeton                      |
| 1865         | Chinométhionate                | 2056         | Fluquinconazole             | 1385         | Sélium                          |
| 1336         | Chlorbutafame                  | 1974         | Fluridone                   | 1893         | Siduron                         |

| Codes sandre | Libellés des paramètres        | Codes sandre | Libellés des paramètres           | Codes sandre | Libellés des paramètres        |
|--------------|--------------------------------|--------------|-----------------------------------|--------------|--------------------------------|
| 7010         | Chlordane alpha                | 1675         | Flurochloridone                   | 1348         | Silice                         |
| 1757         | Chlordane beta                 | 1765         | Fluroxypyr                        | 1263         | Simazine                       |
| 1866         | Chlordécone                    | 2547         | Fluroxypyr-meptyl                 | 1831         | Simazine hydroxy               |
| 1464         | Chlorfenvinphos                | 2024         | Flurprimidol                      | 5477         | Simétryne                      |
| 2950         | Chlorfluzazuron                | 2008         | Flurtamone                        | 2664         | Spiroxamine                    |
| 1133         | Chloridazone                   | 1194         | Flusilazole                       | 1662         | Sulcotrione                    |
| 1134         | Chlorméphos                    | 2985         | Flutolanil                        | 2085         | Sulfosufuron                   |
| 5554         | Chlormequat                    | 1503         | Flutriafol                        | 1894         | Sulfotop                       |
| 1955         | Chloroalcanes C10-C13          | 1192         | Folpel                            | 1193         | Taufluvalinate                 |
| 1593         | Chloroaniline-2                | 2075         | Fomesafen                         | 1694         | Tébuconazole                   |
| 1592         | Chloroaniline-3                | 1674         | Fonofos                           | 1895         | Tébufénozide                   |
| 1591         | Chloroaniline-4                | 1702         | Formaldéhyde                      | 1896         | Tébufenpyrad                   |
| 1467         | Chlorobenzène                  | 1504         | Formothion                        | 1661         | Tébutame                       |
| 2016         | Chlorobromuron                 | 1975         | Foséthyl aluminium                | 1897         | Téflubenzuron                  |
| 1612         | Chlorodinitrobenzène-1,2,4     | 1908         | Furalaxyl                         | 2559         | Tellure                        |
| 1135         | Chloroforme (Trichlorométhane) | 2567         | Furathiocarbe                     | 1898         | Téméphos                       |
| 1635         | Chlorométhylphénol-2,5         | 1526         | Glufosinate                       | 1659         | Terbacile                      |
| 2759         | Chlorométhylphénol-2,6         | 1506         | Glyphosate                        | 1266         | Terbuméton                     |
| 1636         | Chlorométhylphénol-4,3         | 2047         | Haloxypol                         | 1267         | Terbuphos                      |
| 1603         | Chloronaphtalène-1             | 1909         | Haloxypol-R                       | 1268         | Terbuthylazine                 |
| 1604         | Chloronaphtalène-2             | 1200         | HCH alpha                         | 2045         | Terbuthylazine déséthyl        |
| 1341         | Chloronébe                     | 1201         | HCH beta                          | 1954         | Terbuthylazine hydroxy         |
| 1594         | Chloronitroaniline-4,2         | 1202         | HCH delta                         | 1269         | Terbutryne                     |
| 1469         | Chloronitrobenzène-1,2         | 2046         | HCH epsilon                       | 1936         | Tetrabutylétain                |
| 1468         | Chloronitrobenzène-1,3         | 1203         | HCH gamma                         | 1270         | Tétrachloréthane-1,1,1,2       |
| 1470         | Chloronitrobenzène-1,4         | 1197         | Heptachlore                       | 1271         | Tétrachloréthane-1,1,2,2       |
| 1605         | Chloronitrotoluène-4,2         | 1748         | Heptachlore époxyde cis           | 1272         | Tétrachloréthylène             |
| 1684         | Chlorophacinone                | 1749         | Heptachlore époxyde trans         | 2735         | Tétrachlorobenzène             |
| 1471         | Chlorophénol-2                 | 1910         | Heptenophos                       | 2010         | Tétrachlorobenzène-1,2,3,4     |
| 1651         | Chlorophénol-3                 | 1199         | Hexachlorobenzène                 | 2536         | Tétrachlorobenzène-1,2,3,5     |
| 1650         | Chlorophénol-4                 | 1652         | Hexachlorobutadiène               | 1631         | Tétrachlorobenzène-1,2,4,5     |
| 2611         | Chloroprène                    | 1656         | Hexachloroéthane                  | 1273         | Tétrachlorophénol-2,3,4,5      |
| 2065         | Chloropropène-3                | 1405         | Hexaconazole                      | 1274         | Tétrachlorophénol-2,3,4,6      |
| 1473         | Chlorothalonil                 | 1875         | Hexaflumuron                      | 1275         | Tétrachlorophénol-2,3,5,6      |
| 1602         | Chlorotoluène-2                | 1673         | Hexazinone                        | 1276         | Tétrachlorure de C             |
| 1601         | Chlorotoluène-3                | 1876         | Hexythiazox                       | 1277         | Tétrachlorvinphos              |
| 1600         | Chlorotoluène-4                | 1704         | Imazail                           | 1660         | Tétraconazole                  |
| 1683         | Chloroxuron                    | 1911         | Imazaméthabenz méthyl             | 1900         | Tétradifon                     |
| 1474         | Chlorprophame                  | 2860         | IMAZAQUINE                        | 5249         | Tétraphénylétaïn               |
| 1083         | Chlorpyrifos éthyl             | 1877         | Imidaclopride                     | 2555         | Thallium                       |
| 1540         | Chlorpyrifos méthyl            | 1204         | Indéno (123c) Pyrène              | 1713         | Thiabendazole                  |
| 1353         | Chlorsulfuron                  | 2025         | Iodofenphos                       | 6390         | Thiamethoxam                   |
| 2966         | Chlorthal diméthyl             | 2563         | Iodosulfuron                      | 1714         | Thiazasulfuron                 |
| 1813         | Chlorthiamide                  | 1205         | Ioxynil                           | 1913         | Thifensulfuron méthyl          |
| 1136         | Chlortoluron                   | 2871         | Ioxynil méthyl ester              | 1093         | Thiodicarbe                    |
| 1579         | Chlorure de Benzyle            | 1942         | Ioxynil octanoate                 | 1715         | Thiofanox                      |
| 2715         | Chlorure de Benzylidène        | 1206         | Iprodione                         | 5476         | Thiofanox sulfone              |
| 2977         | CHLORURE DE CHOLINE            | 2951         | Iprovalicarbe                     | 5475         | Thiofanox sulfoxyde            |
| 1753         | Chlorure de vinyle             | 1976         | Isazofos                          | 2071         | Thiométon                      |
| 1389         | Chrome                         | 1207         | Isodrine                          | 1718         | Thirame                        |
| 1476         | Chrysène                       | 1829         | Isofenphos                        | 1373         | Titane                         |
| 5481         | Cinosulfuron                   | 1633         | Isopropylbenzène                  | 1278         | Toluène                        |
| 2095         | Clodinafop-propargyl           | 1208         | Isoproturon                       | 1719         | Tolyfluanide                   |
| 2017         | Clofazone                      | 2722         | Isothiocyanate de methyle         | 1658         | Tralométhrine                  |
| 1810         | Clopyralide                    | 1672         | Isoxaben                          | 1544         | Triadiméon                     |
| 2018         | Cloquintocet mexyl             | 1945         | Isoxaflutol                       | 1280         | Triadiméonol                   |
| 1379         | Cobalt                         | 1950         | Kresoxim méthyl                   | 1281         | Triallate                      |
| 1682         | Coumaphos                      | 1094         | Lambda Cyhalothrine               | 1914         | Triasulfuron                   |
| 2019         | Coumatétralyl                  | 1406         | Lénacile                          | 1901         | Triazamate                     |
| 1639         | Crésol-méta                    | 1209         | Linuron                           | 1657         | Triazophos                     |
| 1640         | Crésol-ortho                   | 2026         | Lufénuron                         | 2990         | Triazoxide                     |
| 1638         | Crésol-para                    | 1210         | Malathion                         | 2064         | Tribenuron-Méthyle             |
| 1392         | Cuivre                         | 6399         | Mandipropamid                     | 2879         | Tributylétain cation           |
| 1137         | Cyanazine                      | 2745         | MCPA-1-butyl ester                | 1847         | Tributylphosphate              |
| 2729         | CYCLOXYDIME                    | 2746         | MCPA-2-ethylhexyl ester           | 1288         | Trichlopyr                     |
| 1696         | Cyfluron                       | 2747         | MCPA-butoxyethyl ester            | 1284         | Trichloréthane-1,1,1           |
| 1681         | Cyfluthrine                    | 2748         | MCPA-ethyl-ester                  | 1285         | Trichloréthane-1,1,2           |
| 1139         | Cymoxanil                      | 2749         | MCPA-méthyl-ester                 | 1286         | Trichloréthylène               |
| 1140         | Cyperméthrine                  | 1214         | Mécoprop                          | 1287         | Trichlorfon                    |
| 1680         | Cyproconazole                  | 2870         | Mecoprop n isobutyl ester         | 2734         | Trichloroaniline-2,3,4         |
| 1359         | Cyprodinil                     | 2750         | Mecoprop-1-octyl ester            | 7017         | Trichloroaniline-2,3,5         |
| 5930         | Daimuron                       | 2751         | Mecoprop-2,4,4-triméthylphenyl es | 2732         | Trichloroaniline-2,4,5         |
| 1929         | DCPMU (métabolite du Diuron)   | 2752         | Mecoprop-2-butoxyethyl ester      | 1595         | Trichloroaniline-2,4,6         |
| 1930         | DCPU (métabolite Diuron)       | 2753         | Mecoprop-2-ethylhexyl ester       | 1630         | Trichlorobenzène-1,2,3         |
| 1143         | DDD-o,p'                       | 2754         | Mecoprop-2-octyl ester            | 1283         | Trichlorobenzène-1,2,4         |
| 1144         | DDD-p,p'                       | 2755         | Mecoprop-méthyl ester             | 1629         | Trichlorobenzène-1,3,5         |
| 1145         | DDE-o,p'                       | 1968         | Méfenacet                         | 1195         | Trichlorofluorométhane         |
| 1146         | DDE-p,p'                       | 2568         | Mefluidide                        | 1644         | Trichlorophénol-2,3,4          |
| 1147         | DDT-o,p'                       | 1969         | Mépiquat                          | 1643         | Trichlorophénol-2,3,5          |
| 1148         | DDT-p,p'                       | 1878         | Mépronil                          | 1642         | Trichlorophénol-2,3,6          |
| 6616         | DEHP                           | 1510         | Mercaptodiméthur                  | 1548         | Trichlorophénol-2,4,5          |
| 1149         | Deltaméthrine                  | 1387         | Mercure                           | 1549         | Trichlorophénol-2,4,6          |
| 1550         | Déméton O + S                  | 2578         | Mesosulfuron méthyle              | 1854         | Trichloropropane-1,2,3         |
| 1153         | Déméton S méthyl               | 2076         | Mésotrione                        | 1196         | Trichlorotrifluoroéthane-1,1,2 |
| 1154         | Déméton S méthyl sulfone       | 1706         | Métalaxyl                         | 2898         | Tricyclazole                   |
| 1155         | Desmétryne                     | 1796         | Métaldéhyde                       | 2885         | Tricyclohexylétain cation      |
| 1156         | Diallate                       | 1215         | Métamitron                        | 5842         | Trietazine                     |
| 1157         | Diazinon                       | 1670         | Métazachlore                      | 6102         | Trietazine 2-hydroxy           |
| 1621         | Dibenzo (ah) Anthracène        | 1879         | Metconazole                       | 5971         | Trietazine desethyl            |
| 1158         | Dibromochlorométhane           | 1216         | Méthabenzthiazuron                | 2678         | Trifloxystrobine               |
| 1498         | Dibromoéthane-1,2              | 1671         | Méthamidophos                     | 1902         | Triflumuron                    |
| 1513         | Dibromométhane                 | 1217         | Méthidathion                      | 1289         | Trifluraline                   |
| 7074         | Dibutylétain cation            | 1218         | Méthomyl                          | 1802         | Triforine                      |
| 1480         | Dicamba                        | 1511         | Méthoxychlore                     | 2096         | Trinexapac-ethyl               |
| 1679         | Dichlobénil                    | 1619         | Méthyl-2-Fluoranthène             | 2886         | Triocylétain cation            |
| 1159         | Dichlofenthion                 | 1618         | Méthyl-2-Naphtalène               | 6372         | Triphénylétain cation          |
| 1360         | Dichlofluanide                 | 1515         | Métobromuron                      | 2992         | Triconazole                    |
| 1160         | Dichloréthane-1,1              | 1221         | Métolachlore                      | 1361         | Uranium                        |
| 1161         | Dichloréthane-1,2              | 1912         | Métosulame                        | 1290         | Vamidothion                    |
| 1162         | Dichloréthylène-1,1            | 1222         | Métoxuron                         | 1384         | Vanadium                       |
| 1456         | Dichloréthylène-1,2 cis        | 5654         | Metrafenone                       | 1291         | Vinclozoline                   |
| 1727         | Dichloréthylène-1,2 trans      | 1225         | Métribuzine                       | 1293         | Xylène-meta                    |
| 1590         | Dichloroaniline-2,3            | 1797         | Metsulfuron méthyl                | 1292         | Xylène-ortho                   |
| 1589         | Dichloroaniline-2,4            | 1226         | Mévinphos                         | 1294         | Xylène-para                    |
| 1588         | Dichloroaniline-2,5            | 1707         | Molinate                          | 2925         | Xylènes (m+p)                  |
| 1587         | Dichloroaniline-2,6            | 1395         | Molybdène                         | 1383         | Zinc                           |
| 1586         | Dichloroaniline-3,4            | 2542         | Monobutylétain cation             | 1722         | Zirame                         |
| 1585         | Dichloroaniline-3,5            | 1880         | Monocrotophos                     | 2858         | Zoxamide                       |
| 1165         | Dichlorobenzène-1,2            | 1227         | Monolinuron                       |              |                                |
| 1164         | Dichlorobenzène-1,3            | 2890         | Monooctylétain                    |              |                                |
| 1166         | Dichlorobenzène-1,4            | 2889         | Monophénylétain                   |              |                                |
| 1167         | Dichlorobromométhane           | 1228         | Monuron                           |              |                                |

## 5.2. COMPTE-RENDUS DES CAMPAGNES DE PRELEVEMENTS (PHYSICOCHIMIE ET PHYTOPLANCTON)

|                         |                                       |                |            |
|-------------------------|---------------------------------------|----------------|------------|
| Plan d'eau :            | SALAGOU                               | Date :         | 18/02/2013 |
| Nom station :           | Point de plus grande profondeur       | Code station : | Y2235003   |
| Organisme / opérateur : | AQUASCOF / A. Robé - V. Bouchareychas | Réf. dossier : | 8049       |

**LOCALISATION PLAN D'EAU**

|                       |                    |                                |                     |
|-----------------------|--------------------|--------------------------------|---------------------|
| Commune :             | Clermont-l'Hérault |                                |                     |
| Plan d'eau marnant :  | oui                | Superficie du bassin versant : | km <sup>2</sup>     |
| HER :                 | 8 - Cévennes       | Superficie du plan d'eau :     | 7,3 km <sup>2</sup> |
| Profondeur maximale : | 51 m               | Profondeur moyenne :           | m                   |

Carte :  
 (extrait IGN 1/25 000 éme)

**LOCALISATION STATION**

|                                  |                      |             |              |              |
|----------------------------------|----------------------|-------------|--------------|--------------|
| Coordonnées du point :           | relevées sur :       | GPS         |              |              |
| Lambert 93 (système français) :  | (en m)               | X           | Y            | Altitude     |
|                                  |                      | 732299      | 6284061      | 138          |
| WGS 84 (système international) : | données GPS (en dms) | N           | E            | Altitude (m) |
|                                  |                      | 43°39'17,1" | 003°24'01,0" | 138          |
| Profondeur :                     | 51                   | m           |              |              |

Photos du site :  
 (indiquer l'angle de prise de vue sur la carte)

Remarques et observations :

Retenue au niveau de sa côte nominale moins 0,5 à 0,8 m

Prélèvement effectué au niveau de la bouée n°4 (numéro inscrit sur le drapeau métal de la bouée)

|                               |                                       |                |            |
|-------------------------------|---------------------------------------|----------------|------------|
| Plan d'eau :                  | SALAGOU                               | Date :         | 18/02/2013 |
| Station ou n° d'échantillon : | Point de plus grande profondeur       | Code lac :     | Y2235003   |
| Organisme / opérateur :       | AQUASCOP / V. Bouchareychas - A. Robé | Réf. dossier : | 8049       |

| STATION                        |  |  |              |                      |
|--------------------------------|--|--|--------------|----------------------|
| Coordonnées de la station      | relevées sur :   | GPS  |              |                      |
| Lambert 93 (système français)  | (en m)   | X  | Y            | Altitude (m) : 138,0 |
|                                |  | 732299   | 6284062      |                      |
| WGS 84 (système international) | données GPS (en dms)   | N  | E            | Altitude (m) : 138,0 |
|                                |  | 43°39'17,1"  | 003°24'01,0" |                      |
| Profondeur (m) :               | 50,9   |  |              |                      |
| Conditions d'observation :     | Instensité du vent :   | faible   |              |                      |
|                                | météo :  | temps sec fortement nuageux  |              |                      |
|                                | Surface de l'eau :   | lisse  |              |                      |
|                                | Hauteur des vagues :   |  |              | m                    |
|                                | Bloom algal :  | non  |              |                      |
| Marnage :                      | oui  | niveau des eaux par rapport à la végétation de ceinture (pour les plans d'eau marnant) : | 0,5          | m                    |
| Remarques :                    | Hauteur des vagues : 0 m (lorsque le champs hauteur des vagues est vide cela signifie que la valeur est égale à 0) |  |              |                      |

| PRELEVEMENTS              |   |   |   |
|---------------------------|---|---|---|
| Heure début de relevé :   | 15:30   | Heure de fin de relevé :                            |   |
| Prélèvements réalisés :   | <input checked="" type="checkbox"/> phytoplancton<br><input checked="" type="checkbox"/> chlorophylle<br><input checked="" type="checkbox"/> eau<br><input type="checkbox"/> sédiment<br><input type="checkbox"/> macrophytes<br><input type="checkbox"/> oligochètes<br><input type="checkbox"/> autres, préciser :  | Matériel employé :                                  | <input type="checkbox"/> bouteille intégratrice<br><input checked="" type="checkbox"/> bouteille Van Dorn<br><input type="checkbox"/> pompe |
|                           |   | Volume filtré pour la chlorophylle (ml) :           | 1000  |
|                           |   | Volume de Lugol ajouté pour le phytoplancton (ml) : | 5   |
| Remarques, observations : | Cote plan d'eau RN à 138,2 moins 0,5 à 0,8 m<br>Prélèvement intégré pour le phytoplancton et la chlorophylle : technique du tuyau<br>Prélèvement intégré physico-chimie et micropolluants : bouteille type Niskin - 6 prélèvements ponctuels<br>Prélèvement de fond : aucun car il s'agit d'un suivi spécifique phytoplancton<br>Dépôt des échantillons au transporteur : le 18/02/2013 à 18h00 |   |   |

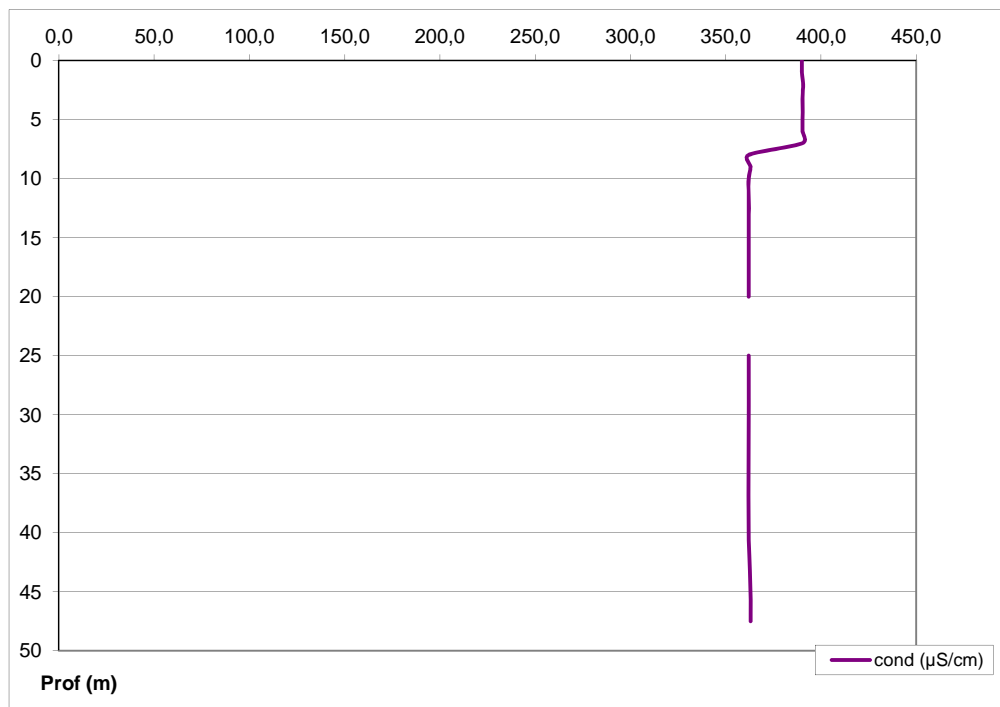
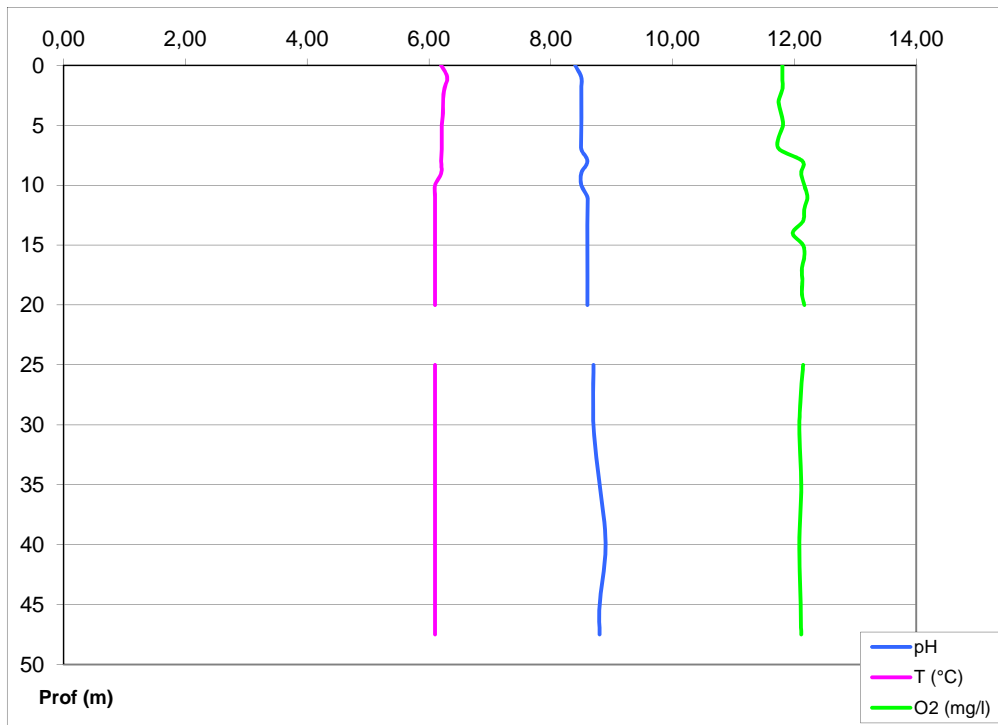
|                               |                                       |                |            |
|-------------------------------|---------------------------------------|----------------|------------|
| Plan d'eau :                  | SALAGOU                               | Date :         | 18/02/2013 |
| Station ou n° d'échantillon : | Point de plus grande profondeur       | Code lac :     | Y2235003   |
| Organisme / opérateur :       | AQUASCOP / V. Bouchareychas - A. Robé | Réf. dossier : | 8049       |

|                     |     |  |     |
|---------------------|-----|--|-----|
| <b>TRANSPARENCE</b> |     |  |     |
| Secchi en m :       | 3,8 | Zone euphotique (2,5 x Secchi)<br>en m : | 9,5 |

| <b>PROFIL VERTICAL</b>              |                                |           |      |  |                    |                       |                   |       |
|-------------------------------------|--------------------------------|-----------|------|--|--------------------|-----------------------|-------------------|-------|
| Moyen utilisé :                     | mesures in-situ à chaque prof. |           |      |  |                    |                       |                   |       |
| Echantillon phytoplancton ?         | Prof (m)                       | Temp (°C) | pH   | Conductivité à 25°C (µS.cm <sup>-1</sup> ) | O <sub>2</sub> (%) | O <sub>2</sub> (mg/l) | Chlorophylle µg/l | Heure |
| <input checked="" type="checkbox"/> | Intégré de 0 à ..<br>9,5       | 6,4       | 8,60 | 364,0                                      | 101,5              | 12,2                  |                   | 15:35 |
| <input type="checkbox"/>            | 0                              | 6,2       | 8,40 | 390,0                                      | 114,3              | 11,8                  |                   | 15:50 |
| <input type="checkbox"/>            | 1                              | 6,3       | 8,50 | 390,0                                      | 114,6              | 11,8                  |                   | 15:52 |
| <input type="checkbox"/>            | 2                              | 6,3       | 8,50 | 390,6                                      | 114,5              | 11,8                  |                   | 15:53 |
| <input type="checkbox"/>            | 3                              | 6,2       | 8,50 | 390,3                                      | 113,9              | 11,7                  |                   | 15:56 |
| <input type="checkbox"/>            | 4                              | 6,2       | 8,50 | 390,4                                      | 114,1              | 11,8                  |                   | 15:57 |
| <input type="checkbox"/>            | 5                              | 6,2       | 8,50 | 390,3                                      | 114,6              | 11,8                  |                   | 16:00 |
| <input type="checkbox"/>            | 6                              | 6,2       | 8,50 | 390,3                                      | 113,8              | 11,7                  |                   | 16:02 |
| <input type="checkbox"/>            | 7                              | 6,2       | 8,50 | 390,3                                      | 113,9              | 11,8                  |                   | 16:04 |
| <input type="checkbox"/>            | 8                              | 6,2       | 8,60 | 362,0                                      | 100,3              | 12,1                  |                   | 16:05 |
| <input type="checkbox"/>            | 9                              | 6,2       | 8,50 | 363,0                                      | 100,1              | 12,1                  |                   | 16:08 |
| <input type="checkbox"/>            | 10                             | 6,1       | 8,50 | 362,0                                      | 100,3              | 12,2                  |                   | 16:10 |
| <input type="checkbox"/>            | 11                             | 6,1       | 8,60 | 362,0                                      | 100,8              | 12,2                  |                   | 16:11 |
| <input type="checkbox"/>            | 12                             | 6,1       | 8,60 | 362,0                                      | 100,3              | 12,2                  |                   | 16:14 |
| <input type="checkbox"/>            | 13                             | 6,1       | 8,60 | 362,0                                      | 100,2              | 12,1                  |                   | 16:17 |
| <input type="checkbox"/>            | 14                             | 6,1       | 8,60 | 362,0                                      | 98,8               | 12,0                  |                   | 16:18 |
| <input type="checkbox"/>            | 15                             | 6,1       | 8,60 | 362,0                                      | 100,2              | 12,1                  |                   | 16:20 |
| <input type="checkbox"/>            | 16                             | 6,1       | 8,60 | 362,0                                      | 100,3              | 12,2                  |                   | 16:23 |
| <input type="checkbox"/>            | 17                             | 6,1       | 8,60 | 362,0                                      | 100,0              | 12,1                  |                   | 16:24 |
| <input type="checkbox"/>            | 18                             | 6,1       | 8,60 | 362,0                                      | 100,1              | 12,1                  |                   | 16:27 |
| <input type="checkbox"/>            | 19                             | 6,1       | 8,60 | 362,0                                      | 99,9               | 12,1                  |                   | 16:28 |
| <input type="checkbox"/>            | 20                             | 6,1       | 8,60 | 362,0                                      | 100,3              | 12,2                  |                   | 16:30 |
| <input type="checkbox"/>            | 21                             |           |      |  |                    |                       |                   |       |
| <input type="checkbox"/>            | 22                             |           |      |  |                    |                       |                   |       |
| <input type="checkbox"/>            | 23                             |           |      |  |                    |                       |                   |       |
| <input type="checkbox"/>            | 24                             |           |      |  |                    |                       |                   |       |
| <input type="checkbox"/>            | 25                             |           |      |  |                    |                       |                   |       |
| <input type="checkbox"/>            | 26                             |           |      |  |                    |                       |                   |       |
| <input type="checkbox"/>            | 27                             |           |      |  |                    |                       |                   |       |
| <input type="checkbox"/>            | 28                             |           |      |  |                    |                       |                   |       |
| <input type="checkbox"/>            | 29                             |           |      |  |                    |                       |                   |       |
| <input type="checkbox"/>            | 30                             |           |      |  |                    |                       |                   |       |
| <input type="checkbox"/>            | 31                             |           |      |  |                    |                       |                   |       |
| <input type="checkbox"/>            | 32                             |           |      |  |                    |                       |                   |       |
| <input type="checkbox"/>            | 33                             |           |      |  |                    |                       |                   |       |
| <input type="checkbox"/>            | 34                             |           |      |  |                    |                       |                   |       |
| <input type="checkbox"/>            | 35                             |           |      |  |                    |                       |                   |       |
| <input type="checkbox"/>            | 36                             |           |      |  |                    |                       |                   |       |
| <input type="checkbox"/>            | 37                             |           |      |  |                    |                       |                   |       |
| <input type="checkbox"/>            | 38                             |           |      |  |                    |                       |                   |       |
| <input type="checkbox"/>            | 39                             |           |      |  |                    |                       |                   |       |
| <input type="checkbox"/>            | 40                             |           |      |  |                    |                       |                   |       |
| <input type="checkbox"/>            | 41                             |           |      |  |                    |                       |                   |       |
| <input type="checkbox"/>            | 42                             |           |      |  |                    |                       |                   |       |
| <input type="checkbox"/>            | 43                             |           |      |  |                    |                       |                   |       |
| <input type="checkbox"/>            | 44                             |           |      |  |                    |                       |                   |       |
| <input type="checkbox"/>            | 45                             |           |      |  |                    |                       |                   |       |
| <input type="checkbox"/>            | 46                             |           |      |  |                    |                       |                   |       |
| <input type="checkbox"/>            | 47                             |           |      |  |                    |                       |                   |       |
| Echantillon phytoplancton ?         | Prof (m)                       | Temp (°C) | pH   | Conductivité à 25°C (µS.cm <sup>-1</sup> ) | O <sub>2</sub> (%) | O <sub>2</sub> (mg/l) | Chlorophylle µg/l | Heure |
| <input type="checkbox"/>            | 25                             | 6,1       | 8,70 | 362,0                                      | 100,1              | 12,1                  |                   | 16:31 |





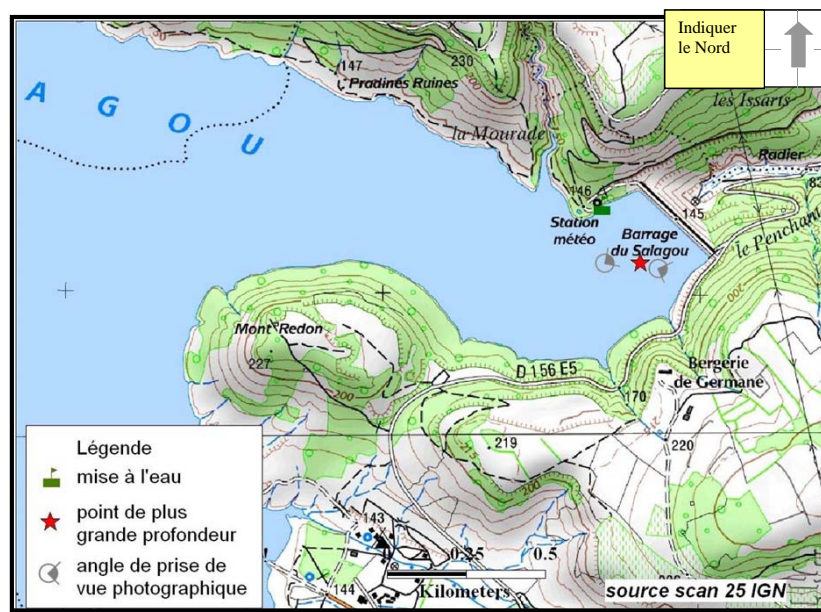


|                         |   |                |            |
|-------------------------|---|----------------|------------|
| Plan d'eau :            | SALAGOU                                 | Date :         | 27/05/2013 |
| Nom station :           | Point de plus grande profondeur         | Code station : | Y2235003   |
| Organisme / opérateur : | AQUASCOP / A.Corbarieu -V.Bouchareychas | Réf. dossier : | 8049       |

## LOCALISATION PLAN D'EAU

|                       |                    |                                |                     |
|-----------------------|--------------------|--------------------------------|---------------------|
| Commune :             | Clermont-l'Hérault |                                |                     |
| Plan d'eau marnant :  | oui                | Superficie du bassin versant : | km <sup>2</sup>     |
| HER :                 | 8 - Cévennes       | Superficie du plan d'eau :     | 7,3 km <sup>2</sup> |
| Profondeur maximale : | 51 m               | Profondeur moyenne :           | m                   |

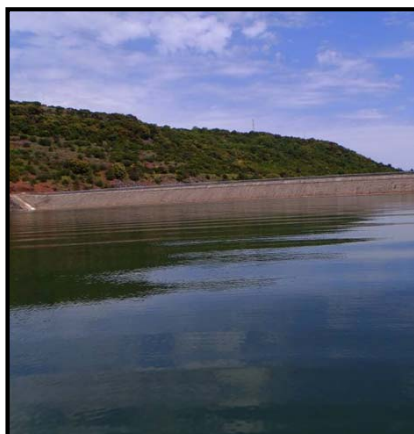
Carte :  
(extrait IGN 1/25 000 éme)



## LOCALISATION STATION

|                                  |                      |             |              |              |
|----------------------------------|----------------------|-------------|--------------|--------------|
| Coordonnées du point :           | relevées sur :       | GPS         |              |              |
| Lambert 93 (système français) :  | (en m)               | X           | Y            | Altitude     |
|                                  |                      | 732310      | 6284066      | 141          |
| WGS 84 (système international) : | données GPS (en dms) | N           | E            | Altitude (m) |
|                                  |                      | 43°39'17,6" | 003°24'01,5" | 141          |
| Profondeur :                     | 50                   | m           |              |              |

Photos du site :  
(indiquer l'angle de prise de vue sur la carte)



Remarques et observations : RAS  
bouée n°4

|                               |  |                |            |
|-------------------------------|--|----------------|------------|
| Plan d'eau :                  | SALAGOU                                    | Date :         | 27/05/2013 |
| Station ou n° d'échantillon : | Point de plus grande profondeur            | Code lac :     | Y2235003   |
| Organisme / opérateur :       | AQUASCOP / V. Bouchareychas - A. Corbarieu | Réf. dossier : | 8049       |

| STATION                        |  |  |              |                |       |
|--------------------------------|--|--|--------------|----------------|-------|
| Coordonnées de la station      | relevées sur :   | GPS  |              |                |       |
| Lambert 93 (système français)  | (en m)   | X  | Y            | Altitude (m) : | 141,0 |
|                                |  | 732310   | 6284066      |                |       |
| WGS 84 (système international) | données GPS (en dms)   | N  | E            | Altitude (m) : | 141,0 |
|                                |  | 43°39'17,6"  | 003°24'01,5" |                |       |
| Profondeur (m) :               | 50   |  |              |                |       |
| Conditions d'observation :     | Instensité du vent :   | faible   |              |                |       |
|                                | météo :  | temps sec ensoleillé   |              |                |       |
|                                | Surface de l'eau :   | lisse  |              |                |       |
|                                | Hauteur des vagues :   | m  |              |                |       |
|                                | Bloom algal :  | non  |              |                |       |
| Marnage :                      | non  | niveau des eaux par rapport à la végétation de ceinture (pour les plans d'eau marnant) : | 0            | m              |       |
| Remarques :                    | Hauteur des vagues : 0 m (lorsque le champs hauteur des vagues est vide cela signifie que la valeur est égale à 0) |  |              |                |       |

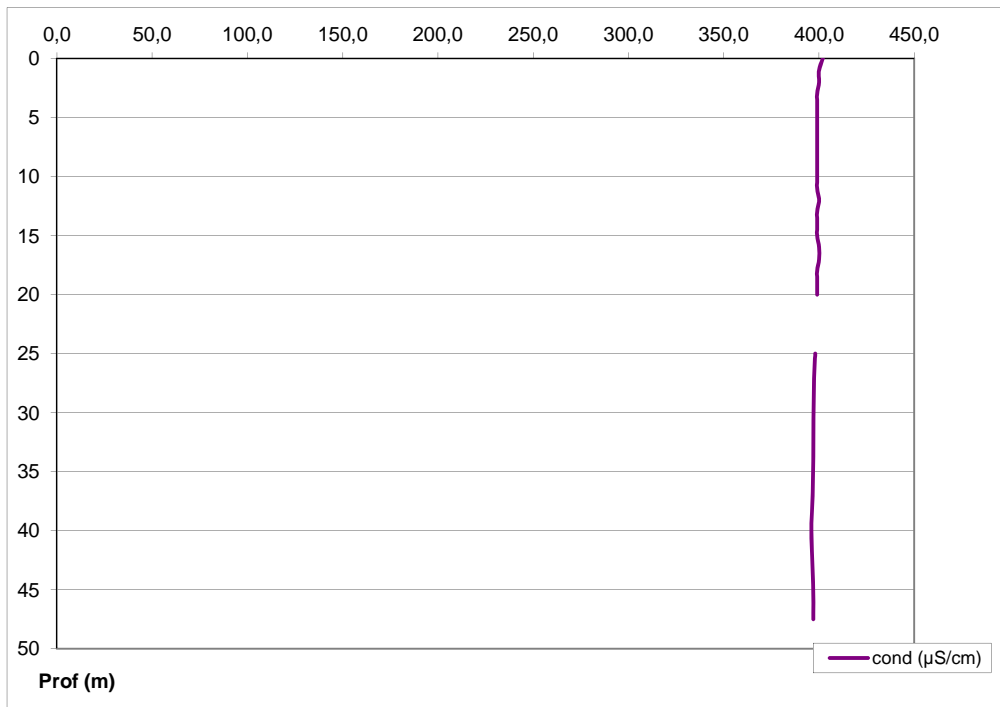
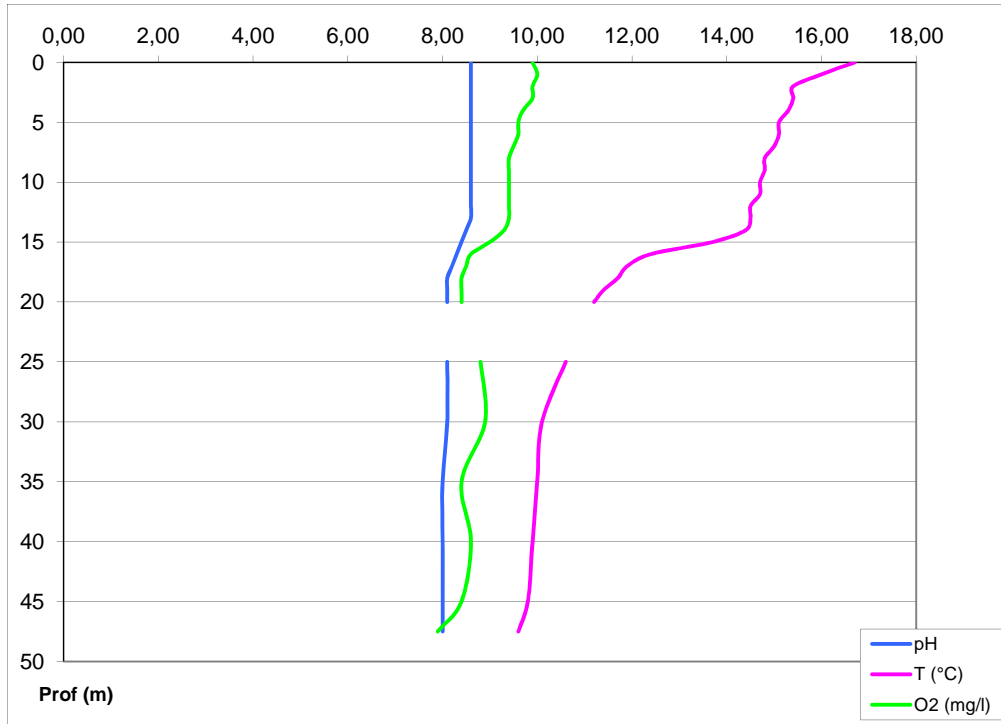
| PRELEVEMENTS              |  |   |   |
|---------------------------|--|---|---|
| Heure début de relevé :   | 13:00  | Heure de fin de relevé :                            | 14:00   |
| Prélèvements réalisés :   | <input checked="" type="checkbox"/> phytoplancton<br><input checked="" type="checkbox"/> chlorophylle<br><input checked="" type="checkbox"/> eau<br><input type="checkbox"/> sédiment<br><input type="checkbox"/> macrophytes<br><input type="checkbox"/> oligochètes<br><input type="checkbox"/> autres, préciser :                                   | Matériel employé :                                  | <input type="checkbox"/> bouteille intégratrice<br><input checked="" type="checkbox"/> bouteille Van Dorn<br><input type="checkbox"/> pompe |
|                           |  | Volume filtré pour la chlorophylle (ml) :           | 1000  |
|                           |  | Volume de Lugol ajouté pour le phytoplancton (ml) : | 5   |
| Remarques, observations : | Prélèvement intégré pour le phytoplancton et la chlorophylle : technique du tuyau<br>Prélèvement intégré physico-chimie et micropolluants : bouteille type Niskin - 6 prélèvements ponctuels<br>Prélèvement de fond : aucun car il s'agit d'un suivi spécifique phytoplancton<br>Dépôt de échantillons chez le transporteur TNT de Montpellier à 17h00 |   |   |

|                               |  |                |            |
|-------------------------------|--|----------------|------------|
| Plan d'eau :                  | SALAGOU                                    | Date :         | 27/05/2013 |
| Station ou n° d'échantillon : | Point de plus grande profondeur            | Code lac :     | Y2235003   |
| Organisme / opérateur :       | AQUASCOP / V. Bouchareychas - A. Corbarieu | Réf. dossier : | 8049       |

|                     |      |  |        |
|---------------------|------|--|--------|
| <b>TRANSPARENCE</b> |      |  |        |
| Secchi en m :       | 4,05 | Zone euphotique (2,5 x Secchi)<br>en m : | 10,125 |

| <b>PROFIL VERTICAL</b>              |                                |           |      |  |                    |                       |                   |       |
|-------------------------------------|--------------------------------|-----------|------|--|--------------------|-----------------------|-------------------|-------|
| Moyen utilisé :                     | mesures in-situ à chaque prof. |           |      |  |                    |                       |                   |       |
| Echantillon phytoplancton ?         | Prof (m)                       | Temp (°C) | pH   | Conductivité à 25°C (µS.cm <sup>-1</sup> ) | O <sub>2</sub> (%) | O <sub>2</sub> (mg/l) | Chlorophylle µg/l | Heure |
| <input checked="" type="checkbox"/> | Intégré de 0 à ..<br>10,1      |           |      |  |                    |                       |                   |       |
| <input type="checkbox"/>            | 0                              | 16,7      | 8,60 | 402,0                                      | 102,0              | 9,9                   |                   | 13:00 |
| <input type="checkbox"/>            | 1                              | 16,0      | 8,60 | 400,0                                      | 101,4              | 10,0                  |                   | 13:05 |
| <input type="checkbox"/>            | 2                              | 15,4      | 8,60 | 400,0                                      | 99,6               | 9,9                   |                   | 13:07 |
| <input type="checkbox"/>            | 3                              | 15,4      | 8,60 | 399,0                                      | 99,3               | 9,9                   |                   | 13:08 |
| <input type="checkbox"/>            | 4                              | 15,3      | 8,60 | 399,0                                      | 97,2               | 9,7                   |                   | 13:10 |
| <input type="checkbox"/>            | 5                              | 15,1      | 8,60 | 399,0                                      | 95,7               | 9,6                   |                   | 13:11 |
| <input type="checkbox"/>            | 6                              | 15,1      | 8,60 | 399,0                                      | 95,5               | 9,6                   |                   | 13:12 |
| <input type="checkbox"/>            | 7                              | 15,0      | 8,60 | 399,0                                      | 94,7               | 9,5                   |                   | 13:13 |
| <input type="checkbox"/>            | 8                              | 14,8      | 8,60 | 399,0                                      | 93,2               | 9,4                   |                   | 13:15 |
| <input type="checkbox"/>            | 9                              | 14,8      | 8,60 | 399,0                                      | 93,3               | 9,4                   |                   | 13:16 |
| <input type="checkbox"/>            | 10                             | 14,7      | 8,60 | 399,0                                      | 93,4               | 9,4                   |                   | 13:18 |
| <input type="checkbox"/>            | 11                             | 14,7      | 8,60 | 399,0                                      | 93,0               | 9,4                   |                   | 13:19 |
| <input type="checkbox"/>            | 12                             | 14,5      | 8,60 | 400,0                                      | 93,1               | 9,4                   |                   | 13:20 |
| <input type="checkbox"/>            | 13                             | 14,5      | 8,60 | 399,0                                      | 92,6               | 9,4                   |                   | 13:21 |
| <input type="checkbox"/>            | 14                             | 14,4      | 8,50 | 399,0                                      | 91,8               | 9,3                   |                   | 13:22 |
| <input type="checkbox"/>            | 15                             | 13,7      | 8,40 | 399,0                                      | 87,3               | 9,0                   |                   | 13:24 |
| <input type="checkbox"/>            | 16                             | 12,4      | 8,30 | 400,0                                      | 81,3               | 8,6                   |                   | 13:26 |
| <input type="checkbox"/>            | 17                             | 11,9      | 8,20 | 400,0                                      | 78,9               | 8,5                   |                   | 13:27 |
| <input type="checkbox"/>            | 18                             | 11,7      | 8,10 | 399,0                                      | 78,0               | 8,4                   |                   | 13:28 |
| <input type="checkbox"/>            | 19                             | 11,4      | 8,10 | 399,0                                      | 77,3               | 8,4                   |                   | 13:29 |
| <input type="checkbox"/>            | 20                             | 11,2      | 8,10 | 399,0                                      | 76,9               | 8,4                   |                   | 13:31 |
| <input type="checkbox"/>            | 21                             |           |      |  |                    |                       |                   |       |
| <input type="checkbox"/>            | 22                             |           |      |  |                    |                       |                   |       |
| <input type="checkbox"/>            | 23                             |           |      |  |                    |                       |                   |       |
| <input type="checkbox"/>            | 24                             |           |      |  |                    |                       |                   |       |
| <input type="checkbox"/>            | 25                             |           |      |  |                    |                       |                   |       |
| <input type="checkbox"/>            | 26                             |           |      |  |                    |                       |                   |       |
| <input type="checkbox"/>            | 27                             |           |      |  |                    |                       |                   |       |
| <input type="checkbox"/>            | 28                             |           |      |  |                    |                       |                   |       |
| <input type="checkbox"/>            | 29                             |           |      |  |                    |                       |                   |       |
| <input type="checkbox"/>            | 30                             |           |      |  |                    |                       |                   |       |
| <input type="checkbox"/>            | 31                             |           |      |  |                    |                       |                   |       |
| <input type="checkbox"/>            | 32                             |           |      |  |                    |                       |                   |       |
| <input type="checkbox"/>            | 33                             |           |      |  |                    |                       |                   |       |
| <input type="checkbox"/>            | 34                             |           |      |  |                    |                       |                   |       |
| <input type="checkbox"/>            | 35                             |           |      |  |                    |                       |                   |       |
| <input type="checkbox"/>            | 36                             |           |      |  |                    |                       |                   |       |
| <input type="checkbox"/>            | 37                             |           |      |  |                    |                       |                   |       |
| <input type="checkbox"/>            | 38                             |           |      |  |                    |                       |                   |       |
| <input type="checkbox"/>            | 39                             |           |      |  |                    |                       |                   |       |
| <input type="checkbox"/>            | 40                             |           |      |  |                    |                       |                   |       |
| <input type="checkbox"/>            | 41                             |           |      |  |                    |                       |                   |       |
| <input type="checkbox"/>            | 42                             |           |      |  |                    |                       |                   |       |
| <input type="checkbox"/>            | 43                             |           |      |  |                    |                       |                   |       |
| <input type="checkbox"/>            | 44                             |           |      |  |                    |                       |                   |       |
| <input type="checkbox"/>            | 45                             |           |      |  |                    |                       |                   |       |
| <input type="checkbox"/>            | 46                             |           |      |  |                    |                       |                   |       |
| <input type="checkbox"/>            | 47                             |           |      |  |                    |                       |                   |       |
| Echantillon phytoplancton ?         | Prof (m)                       | Temp (°C) | pH   | Conductivité à 25°C (µS.cm <sup>-1</sup> ) | O <sub>2</sub> (%) | O <sub>2</sub> (mg/l) | Chlorophylle µg/l | Heure |
| <input type="checkbox"/>            | 25                             | 10,6      | 8,10 | 398,0                                      | 79,3               | 8,8                   |                   | 13:34 |





|                         |                                 |                |            |
|-------------------------|---------------------------------|----------------|------------|
| Plan d'eau :            | SALAGOU                         | Date :         | 18/07/2013 |
| Nom station :           | Point de plus grande profondeur | Code station : | Y2235003   |
| Organisme / opérateur : | AQUASCOP / A.Marquis -A.Caro    | Réf. dossier : | 8049       |

**LOCALISATION PLAN D'EAU**

|                       |                    |                                |                     |
|-----------------------|--------------------|--------------------------------|---------------------|
| Commune :             | Clermont-l'Hérault |                                |                     |
| Plan d'eau marnant :  | oui                | Superficie du bassin versant : | km <sup>2</sup>     |
| HER :                 | 8 - Cévennes       | Superficie du plan d'eau :     | 7,3 km <sup>2</sup> |
| Profondeur maximale : | 50 m               | Profondeur moyenne :           | m                   |

Carte :  
(extrait IGN 1/25 000 éme)

Légende  
 ■ mise à l'eau  
 ★ point de plus grande profondeur  
 ☉ angle de prise de vue photographique

source scan 25 IGN

**LOCALISATION STATION**

|                                  |                      |             |              |              |
|----------------------------------|----------------------|-------------|--------------|--------------|
| Coordonnées du point :           | relevées sur :       | GPS         |              |              |
| Lambert 93 (système français) :  | (en m)               | X           | Y            | Altitude     |
|                                  |                      | 732310      | 6284066      | 140          |
| WGS 84 (système international) : | données GPS (en dms) | N           | E            | Altitude (m) |
|                                  |                      | 43°39'17,6" | 003°24'01,5" | 140          |
| Profondeur :                     | 50                   | m           |              |              |

Photos du site :  
(indiquer l'angle de prise de vue sur la carte)

|                             |           |
|-----------------------------|-----------|
| Remarques et observations : | Bouée n°4 |
|-----------------------------|-----------|



|                               |                                 |                |            |
|-------------------------------|---------------------------------|----------------|------------|
| Plan d'eau :                  | SALAGOU                         | Date :         | 18/07/2013 |
| Station ou n° d'échantillon : | Point de plus grande profondeur | Code lac :     | Y2235003   |
| Organisme / opérateur :       | AQUASCOP / A.Marquis A.Caro     | Réf. dossier : | 8049       |

| STATION                        |                      |  |              |                |       |
|--------------------------------|----------------------|--|--------------|----------------|-------|
| Coordonnées de la station      | relevées sur :       | GPS  |              |                |       |
| Lambert 93 (système français)  | (en m)               | X  | Y            | Altitude (m) : | 140,0 |
|                                |                      | 732310   | 6284066      |                |       |
| WGS 84 (système international) | données GPS (en dms) | N  | E            | Altitude (m) : | 140,0 |
|                                |                      | 43°39'17,6"  | 003°24'01,5" |                |       |
| Profondeur (m) :               | 50                   |  |              |                |       |
| Conditions d'observation :     | Instensité du vent : | faible   |              |                |       |
|                                | météo :              | temps sec faiblement nuageux   |              |                |       |
|                                | Surface de l'eau :   | agitée   |              |                |       |
|                                | Hauteur des vagues : | 0,2  | m            |                |       |
|                                | Bloom algal :        | non  |              |                |       |
| Marnage :                      | non                  | niveau des eaux par rapport à la végétation de ceinture (pour les plans d'eau marnant) : | 0            | m              |       |
| Remarques :                    |                      |  |              |                |       |

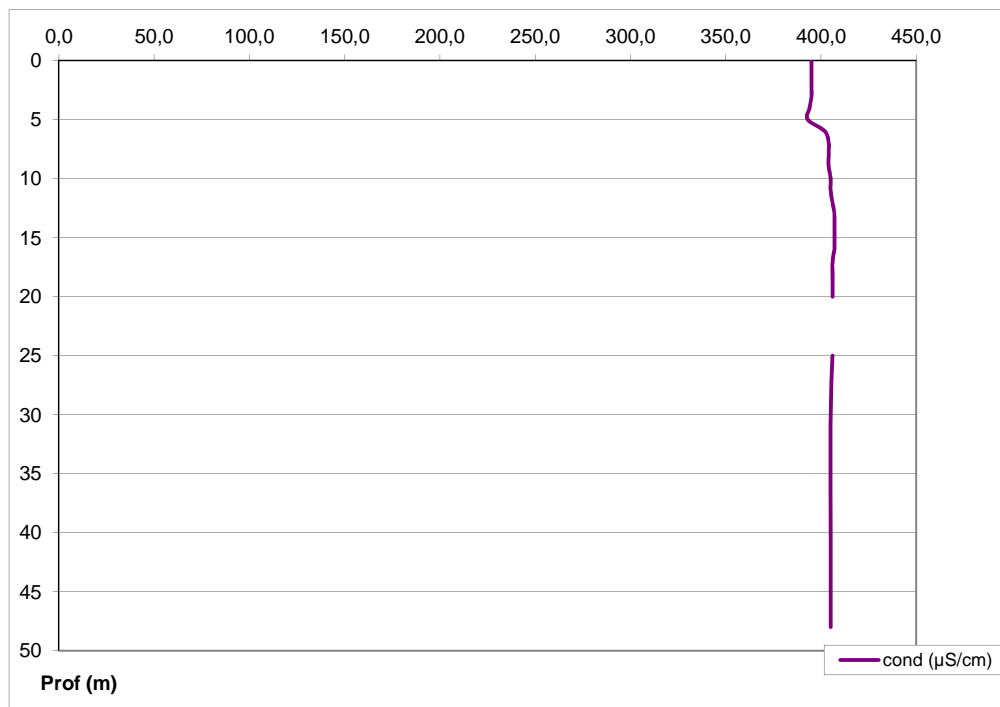
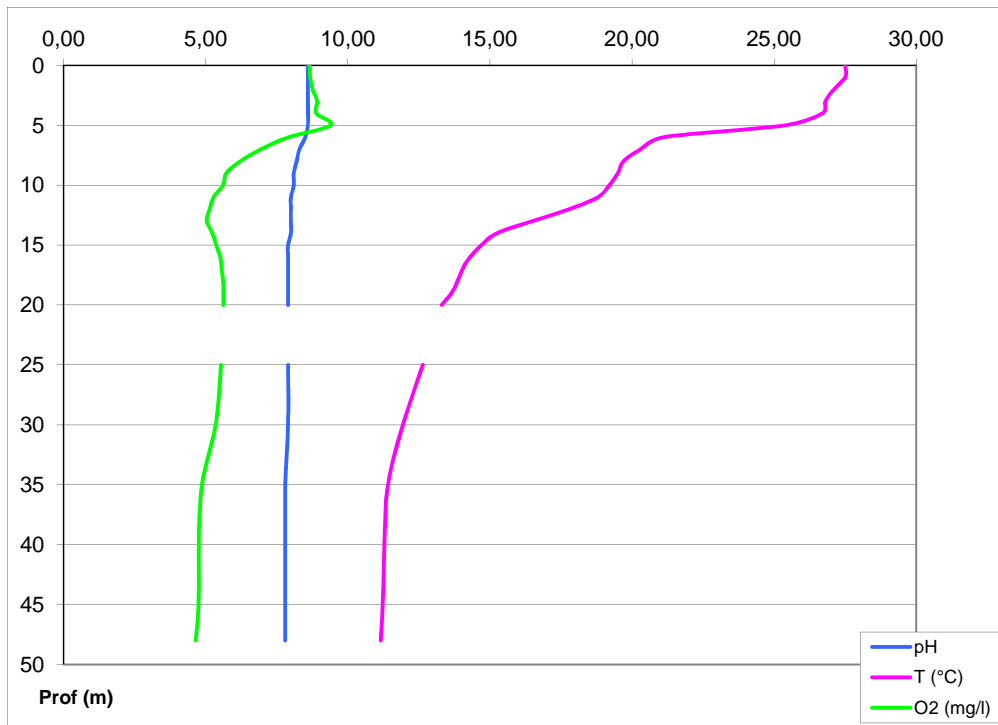
| PRELEVEMENTS              |  |   |   |
|---------------------------|--|---|---|
| Heure début de relevé :   | 17:50  | Heure de fin de relevé :                            | 19:00   |
| Prélèvements réalisés :   | <input checked="" type="checkbox"/> phytoplancton<br><input checked="" type="checkbox"/> chlorophylle<br><input checked="" type="checkbox"/> eau<br><input type="checkbox"/> sédiment<br><input type="checkbox"/> macrophytes<br><input type="checkbox"/> oligochètes<br><input type="checkbox"/> autres, préciser :   | Matériel employé :                                  | <input checked="" type="checkbox"/> bouteille intégratrice<br><input type="checkbox"/> bouteille Van Dorn<br><input type="checkbox"/> pompe |
|                           |  | Volume filtré pour la chlorophylle (ml) :           | 1000  |
|                           |  | Volume de Lugol ajouté pour le phytoplancton (ml) : | 5   |
| Remarques, observations : | <p>Prélèvement intégré pour le phytoplancton et la chlorophylle : technique du tuyau<br/>           Prélèvement intégré physico-chimie et micropolluants : bouteille type Niskin - 6 prélèvements ponctuels<br/>           Prélèvement de fond : aucun car il s'agit d'un suivi spécifique phytoplancton<br/>           Dépôt à TNT Montpellier à 17h00 le jour même</p> |   |   |

|                               |                                 |                |            |
|-------------------------------|---------------------------------|----------------|------------|
| Plan d'eau :                  | SALAGOU                         | Date :         | 18/07/2013 |
| Station ou n° d'échantillon : | Point de plus grande profondeur | Code lac :     | Y2235003   |
| Organisme / opérateur :       | AQUASCOP / A.Marquis A.Caro     | Réf. dossier : | 8049       |

|                     |   |                                       |   |
|---------------------|---|---------------------------------------|---|
| <b>TRANSPARENCE</b> |   |                                       |   |
| Secchi en m :       | 2 | Zone euphotique (2,5 x Secchi) en m : | 5 |

| <b>PROFIL VERTICAL</b>              |                                |           |      |  |                    |                       |                   |       |
|-------------------------------------|--------------------------------|-----------|------|--|--------------------|-----------------------|-------------------|-------|
| Moyen utilisé :                     | mesures in-situ à chaque prof. |           |      |  |                    |                       |                   |       |
| Echantillon phytoplancton ?         | Prof (m)                       | Temp (°C) | pH   | Conductivité à 25°C (µS.cm <sup>-1</sup> ) | O <sub>2</sub> (%) | O <sub>2</sub> (mg/l) | Chlorophylle µg/l | Heure |
| <input checked="" type="checkbox"/> | Intégré de 0 à ..<br>5         |           |      |  |                    |                       |                   |       |
| <input type="checkbox"/>            | 0                              | 27,5      | 8,60 | 395,0                                      | 109,0              | 8,7                   |                   | 19:00 |
| <input type="checkbox"/>            | 1                              | 27,5      | 8,60 | 395,0                                      | 109,3              | 8,7                   |                   | 19:01 |
| <input type="checkbox"/>            | 2                              | 27,1      | 8,60 | 395,0                                      | 109,5              | 8,8                   |                   | 19:02 |
| <input type="checkbox"/>            | 3                              | 26,8      | 8,60 | 395,0                                      | 110,7              | 8,9                   |                   | 19:03 |
| <input type="checkbox"/>            | 4                              | 26,7      | 8,60 | 394,0                                      | 109,9              | 8,9                   |                   | 19:04 |
| <input type="checkbox"/>            | 5                              | 25,4      | 8,60 | 393,0                                      | 110,5              | 9,4                   |                   | 19:06 |
| <input type="checkbox"/>            | 6                              | 21,1      | 8,50 | 402,0                                      | 88,0               | 7,9                   |                   | 19:06 |
| <input type="checkbox"/>            | 7                              | 20,3      | 8,30 | 404,0                                      | 77,0               | 7,0                   |                   | 19:07 |
| <input type="checkbox"/>            | 8                              | 19,7      | 8,20 | 404,0                                      | 68,0               | 6,2                   |                   | 19:08 |
| <input type="checkbox"/>            | 9                              | 19,5      | 8,10 | 404,0                                      | 62,0               | 5,7                   |                   | 19:09 |
| <input type="checkbox"/>            | 10                             | 19,2      | 8,10 | 405,0                                      | 60,5               | 5,6                   |                   | 19:11 |
| <input type="checkbox"/>            | 11                             | 18,8      | 8,00 | 405,0                                      | 56,2               | 5,3                   |                   | 19:11 |
| <input type="checkbox"/>            | 12                             | 17,8      | 8,00 | 406,0                                      | 53,8               | 5,1                   |                   | 19:08 |
| <input type="checkbox"/>            | 13                             | 16,5      | 8,00 | 407,0                                      | 51,3               | 5,0                   |                   | 19:09 |
| <input type="checkbox"/>            | 14                             | 15,3      | 8,00 | 407,0                                      | 52,0               | 5,2                   |                   | 19:09 |
| <input type="checkbox"/>            | 15                             | 14,7      | 7,90 | 407,0                                      | 52,6               | 5,4                   |                   | 19:10 |
| <input type="checkbox"/>            | 16                             | 14,3      | 7,90 | 407,0                                      | 53,7               | 5,5                   |                   | 19:10 |
| <input type="checkbox"/>            | 17                             | 14,0      | 7,90 | 406,0                                      | 53,7               | 5,6                   |                   | 19:11 |
| <input type="checkbox"/>            | 18                             | 13,9      | 7,90 | 406,0                                      | 54,0               | 5,6                   |                   | 19:12 |
| <input type="checkbox"/>            | 19                             | 13,7      | 7,90 | 406,0                                      | 53,9               | 5,6                   |                   | 19:12 |
| <input type="checkbox"/>            | 20                             | 13,3      | 7,90 | 406,0                                      | 53,4               | 5,6                   |                   | 19:13 |
| <input type="checkbox"/>            | 21                             |           |      |  |                    |                       |                   |       |
| <input type="checkbox"/>            | 22                             |           |      |  |                    |                       |                   |       |
| <input type="checkbox"/>            | 23                             |           |      |  |                    |                       |                   |       |
| <input type="checkbox"/>            | 24                             |           |      |  |                    |                       |                   |       |
| <input type="checkbox"/>            | 25                             |           |      |  |                    |                       |                   |       |
| <input type="checkbox"/>            | 26                             |           |      |  |                    |                       |                   |       |
| <input type="checkbox"/>            | 27                             |           |      |  |                    |                       |                   |       |
| <input type="checkbox"/>            | 28                             |           |      |  |                    |                       |                   |       |
| <input type="checkbox"/>            | 29                             |           |      |  |                    |                       |                   |       |
| <input type="checkbox"/>            | 30                             |           |      |  |                    |                       |                   |       |
| <input type="checkbox"/>            | 31                             |           |      |  |                    |                       |                   |       |
| <input type="checkbox"/>            | 32                             |           |      |  |                    |                       |                   |       |
| <input type="checkbox"/>            | 33                             |           |      |  |                    |                       |                   |       |
| <input type="checkbox"/>            | 34                             |           |      |  |                    |                       |                   |       |
| <input type="checkbox"/>            | 35                             |           |      |  |                    |                       |                   |       |
| <input type="checkbox"/>            | 36                             |           |      |  |                    |                       |                   |       |
| <input type="checkbox"/>            | 37                             |           |      |  |                    |                       |                   |       |
| <input type="checkbox"/>            | 38                             |           |      |  |                    |                       |                   |       |
| <input type="checkbox"/>            | 39                             |           |      |  |                    |                       |                   |       |
| <input type="checkbox"/>            | 40                             |           |      |  |                    |                       |                   |       |
| <input type="checkbox"/>            | 41                             |           |      |  |                    |                       |                   |       |
| <input type="checkbox"/>            | 42                             |           |      |  |                    |                       |                   |       |
| <input type="checkbox"/>            | 43                             |           |      |  |                    |                       |                   |       |
| <input type="checkbox"/>            | 44                             |           |      |  |                    |                       |                   |       |
| <input type="checkbox"/>            | 45                             |           |      |  |                    |                       |                   |       |
| <input type="checkbox"/>            | 46                             |           |      |  |                    |                       |                   |       |
| <input type="checkbox"/>            | 47                             |           |      |  |                    |                       |                   |       |
| Echantillon phytoplancton ?         | Prof (m)                       | Temp (°C) | pH   | Conductivité à 25°C (µS.cm <sup>-1</sup> ) | O <sub>2</sub> (%) | O <sub>2</sub> (mg/l) | Chlorophylle µg/l | Heure |
| <input type="checkbox"/>            | 25                             | 12,6      | 7,90 | 406,0                                      | 51,8               | 5,5                   |                   | 19:14 |





|                         |                                 |                |            |
|-------------------------|---------------------------------|----------------|------------|
| Plan d'eau :            | SALAGOU                         | Date :         | 27/09/2013 |
| Nom station :           | Point de plus grande profondeur | Code station : | Y2235003   |
| Organisme / opérateur : | AQUASCOPE / A Robé - H. Tophile | Réf. dossier : | 8049       |

**LOCALISATION PLAN D'EAU**

|                       |                    |                                |                     |
|-----------------------|--------------------|--------------------------------|---------------------|
| Commune :             | Clermont-l'Hérault |                                |                     |
| Plan d'eau marnant :  | oui                | Superficie du bassin versant : | km <sup>2</sup>     |
| HER :                 | 8 - Cévennes       | Superficie du plan d'eau :     | 7,3 km <sup>2</sup> |
| Profondeur maximale : | 51 m               | Profondeur moyenne :           | m                   |

Carte :  
(extrait IGN 1/25 000 éme)

Indiquer le Nord ↑

Légende  
 ■ mise à l'eau  
 ★ point de plus grande profondeur  
 ☉ angle de prise de vue photographique

Kilometers 0.5

source scan 25 IGN

**LOCALISATION STATION**

|                                  |                      |             |              |              |
|----------------------------------|----------------------|-------------|--------------|--------------|
| Coordonnées du point :           | relevées sur :       | GPS         |              |              |
| Lambert 93 (système français) :  | (en m)               | X           | Y            | Altitude     |
|                                  |                      | 732307      | 6284062      | 140          |
| WGS 84 (système international) : | données GPS (en dms) | N           | E            | Altitude (m) |
|                                  |                      | 43°39'17,5" | 003°24'01,4" | 140          |
| Profondeur :                     | 49                   | m           |              |              |

Photos du site :  
(indiquer l'angle de prise de vue sur la carte)

Remarques et observations :

|                               |                                 |                |            |
|-------------------------------|---------------------------------|----------------|------------|
| Plan d'eau :                  | SALAGOU                         | Date :         | 27/09/2013 |
| Station ou n° d'échantillon : | Point de plus grande profondeur | Code lac :     | Y2235003   |
| Organisme / opérateur :       | AQUASCOP / A Robé - H. Tophile  | Réf. dossier : | 8049       |

| STATION                        |                      |  |              |                |       |
|--------------------------------|----------------------|--|--------------|----------------|-------|
| Coordonnées de la station      | relevées sur :       | GPS  |              |                |       |
| Lambert 93 (système français)  | (en m)               | X  | Y            | Altitude (m) : | 140,0 |
|                                |                      | 732307   | 6284062      |                |       |
| WGS 84 (système international) | données GPS (en dms) | N  | E            | Altitude (m) : | 140,0 |
|                                |                      | 43°39'17,5"  | 003°24'01,4" |                |       |
| Profondeur (m) :               | 49                   |  |              |                |       |
| Conditions d'observation :     | Instensité du vent : | faible   |              |                |       |
|                                | météo :              | temps sec fortement nuageux  |              |                |       |
|                                | Surface de l'eau :   | faiblement agitée  |              |                |       |
|                                | Hauteur des vagues : | 0,05   | m            |                |       |
|                                | Bloom algal :        | non  |              |                |       |
| Marnage :                      | oui                  | niveau des eaux par rapport à la végétation de ceinture (pour les plans d'eau marnant) : | 1            | m              |       |
| Remarques :                    |                      |  |              |                |       |

| PRELEVEMENTS              |   |   |   |
|---------------------------|---|---|---|
| Heure début de relevé :   | 10:30   | Heure de fin de relevé :                            | 11:30   |
| Prélèvements réalisés :   | <input checked="" type="checkbox"/> phytoplancton<br><input checked="" type="checkbox"/> chlorophylle<br><input checked="" type="checkbox"/> eau<br><input type="checkbox"/> sédiment<br><input type="checkbox"/> macrophytes<br><input type="checkbox"/> oligochètes<br><input type="checkbox"/> autres, préciser :                              | Matériel employé :                                  | <input checked="" type="checkbox"/> bouteille intégratrice<br><input type="checkbox"/> bouteille Van Dorn<br><input type="checkbox"/> pompe |
|                           |   | Volume filtré pour la chlorophylle (ml) :           | 1000  |
|                           |   | Volume de Lugol ajouté pour le phytoplancton (ml) : | 5   |
| Remarques, observations : | <p>Prélèvement intégré pour le phytoplancton et la chlorophylle : technique du tuyau<br/>           Prélèvement intégré physico-chimie et micropolluants : bouteille type Niskin - 6 prélèvements ponctuels<br/>           Prélèvement de fond : aucun car il s'agit d'un suivi spécifique phytoplancton</p> <p>Dépôt TNT Montpellier à 16h00</p> |   |   |

|                               |                                 |                |            |
|-------------------------------|---------------------------------|----------------|------------|
| Plan d'eau :                  | SALAGOU                         | Date :         | 27/09/2013 |
| Station ou n° d'échantillon : | Point de plus grande profondeur | Code lac :     | Y2235003   |
| Organisme / opérateur :       | AQUASCOP / A Robé - H. Tuphile  | Réf. dossier : | 8049       |

|                     |     |  |       |
|---------------------|-----|--|-------|
| <b>TRANSPARENCE</b> |     |  |       |
| Secchi en m :       | 6,5 | Zone euphotique (2,5 x Secchi)<br>en m : | 16,25 |

| <b>PROFIL VERTICAL</b>              |                                |           |      |  |                    |                       |                   |       |
|-------------------------------------|--------------------------------|-----------|------|--|--------------------|-----------------------|-------------------|-------|
| Moyen utilisé :                     | mesures in-situ à chaque prof. |           |      |  |                    |                       |                   |       |
| Echantillon phytoplancton ?         | Prof (m)                       | Temp (°C) | pH   | Conductivité à 25°C (µS.cm <sup>-1</sup> ) | O <sub>2</sub> (%) | O <sub>2</sub> (mg/l) | Chlorophylle µg/l | Heure |
| <input checked="" type="checkbox"/> | Intégré de 0 à ..<br>16,25     |           |      |  |                    |                       |                   |       |
| <input type="checkbox"/>            | 0                              | 19,7      | 8,70 | 385,0                                      | 100,9              | 9,2                   |                   | 10:28 |
| <input type="checkbox"/>            | 1                              | 19,7      | 8,60 | 384,0                                      | 101,3              | 9,3                   |                   | 10:29 |
| <input type="checkbox"/>            | 2                              | 19,7      | 8,70 | 384,0                                      | 101,5              | 9,3                   |                   | 10:30 |
| <input type="checkbox"/>            | 3                              | 19,6      | 8,60 | 384,0                                      | 101,1              | 9,3                   |                   | 10:30 |
| <input type="checkbox"/>            | 4                              | 19,6      | 8,60 | 384,0                                      | 100,4              | 9,2                   |                   | 10:31 |
| <input type="checkbox"/>            | 5                              | 19,5      | 8,60 | 384,0                                      | 98,9               | 9,1                   |                   | 10:31 |
| <input type="checkbox"/>            | 6                              | 19,4      | 8,60 | 384,0                                      | 96,8               | 8,9                   |                   | 10:32 |
| <input type="checkbox"/>            | 7                              | 19,4      | 8,60 | 384,0                                      | 96,8               | 8,9                   |                   | 10:33 |
| <input type="checkbox"/>            | 8                              | 19,4      | 8,60 | 385,0                                      | 95,7               | 8,8                   |                   | 10:34 |
| <input type="checkbox"/>            | 9                              | 19,3      | 8,60 | 384,0                                      | 94,6               | 8,7                   |                   | 10:34 |
| <input type="checkbox"/>            | 10                             | 19,3      | 8,60 | 384,0                                      | 95,1               | 8,8                   |                   | 10:35 |
| <input type="checkbox"/>            | 11                             | 18,9      | 8,50 | 384,0                                      | 87,3               | 8,1                   |                   | 10:36 |
| <input type="checkbox"/>            | 12                             | 18,8      | 8,40 | 384,0                                      | 84,7               | 7,9                   |                   | 10:37 |
| <input type="checkbox"/>            | 13                             | 18,6      | 8,40 | 385,0                                      | 80,0               | 7,5                   |                   | 10:38 |
| <input type="checkbox"/>            | 14                             | 18,5      | 8,30 | 385,0                                      | 77,8               | 7,3                   |                   | 10:38 |
| <input type="checkbox"/>            | 15                             | 18,4      | 8,30 | 385,0                                      | 75,6               | 7,1                   |                   | 10:39 |
| <input type="checkbox"/>            | 16                             | 18,0      | 8,20 | 386,0                                      | 66,0               | 6,3                   |                   | 10:40 |
| <input type="checkbox"/>            | 17                             | 17,4      | 8,10 | 387,0                                      | 54,5               | 5,2                   |                   | 10:41 |
| <input type="checkbox"/>            | 18                             | 15,6      | 7,80 | 390,0                                      | 21,6               | 2,2                   |                   | 10:43 |
| <input type="checkbox"/>            | 19                             | 14,7      | 7,80 | 390,0                                      | 18,6               | 1,9                   |                   | 10:44 |
| <input type="checkbox"/>            | 20                             | 14,1      | 7,80 | 390,0                                      | 19,3               | 2,0                   |                   | 10:45 |
| <input type="checkbox"/>            | 21                             |           |      |  |                    |                       |                   |       |
| <input type="checkbox"/>            | 22                             |           |      |  |                    |                       |                   |       |
| <input type="checkbox"/>            | 23                             |           |      |  |                    |                       |                   |       |
| <input type="checkbox"/>            | 24                             |           |      |  |                    |                       |                   |       |
| <input type="checkbox"/>            | 25                             |           |      |  |                    |                       |                   |       |
| <input type="checkbox"/>            | 26                             |           |      |  |                    |                       |                   |       |
| <input type="checkbox"/>            | 27                             |           |      |  |                    |                       |                   |       |
| <input type="checkbox"/>            | 28                             |           |      |  |                    |                       |                   |       |
| <input type="checkbox"/>            | 29                             |           |      |  |                    |                       |                   |       |
| <input type="checkbox"/>            | 30                             |           |      |  |                    |                       |                   |       |
| <input type="checkbox"/>            | 31                             |           |      |  |                    |                       |                   |       |
| <input type="checkbox"/>            | 32                             |           |      |  |                    |                       |                   |       |
| <input type="checkbox"/>            | 33                             |           |      |  |                    |                       |                   |       |
| <input type="checkbox"/>            | 34                             |           |      |  |                    |                       |                   |       |
| <input type="checkbox"/>            | 35                             |           |      |  |                    |                       |                   |       |
| <input type="checkbox"/>            | 36                             |           |      |  |                    |                       |                   |       |
| <input type="checkbox"/>            | 37                             |           |      |  |                    |                       |                   |       |
| <input type="checkbox"/>            | 38                             |           |      |  |                    |                       |                   |       |
| <input type="checkbox"/>            | 39                             |           |      |  |                    |                       |                   |       |
| <input type="checkbox"/>            | 40                             |           |      |  |                    |                       |                   |       |
| <input type="checkbox"/>            | 41                             |           |      |  |                    |                       |                   |       |
| <input type="checkbox"/>            | 42                             |           |      |  |                    |                       |                   |       |
| <input type="checkbox"/>            | 43                             |           |      |  |                    |                       |                   |       |
| <input type="checkbox"/>            | 44                             |           |      |  |                    |                       |                   |       |
| <input type="checkbox"/>            | 45                             |           |      |  |                    |                       |                   |       |
| <input type="checkbox"/>            | 46                             |           |      |  |                    |                       |                   |       |
| <input type="checkbox"/>            | 47                             |           |      |  |                    |                       |                   |       |
| Echantillon phytoplancton ?         | Prof (m)                       | Temp (°C) | pH   | Conductivité à 25°C (µS.cm <sup>-1</sup> ) | O <sub>2</sub> (%) | O <sub>2</sub> (mg/l) | Chlorophylle µg/l | Heure |
| <input type="checkbox"/>            | 25                             | 13,2      | 7,80 | 389,0                                      | 22,7               | 2,4                   |                   | 10:46 |





